

NPO MUNI MSMT-16606/2022

Analýza genové exprese a nástroje systémové biologie

Jan Hejátko

Funkční genomika a proteomika rostlin,
Středoevropský technologický institut (CEITEC)

a
Národní centrum pro výzkum biomolekul,
Přírodovědecká fakulta,

Masarykova univerzita, Brno
hejatko@sci.muni.cz, www.ceitec.eu

M U N I
S C I



Zdrojová literatura

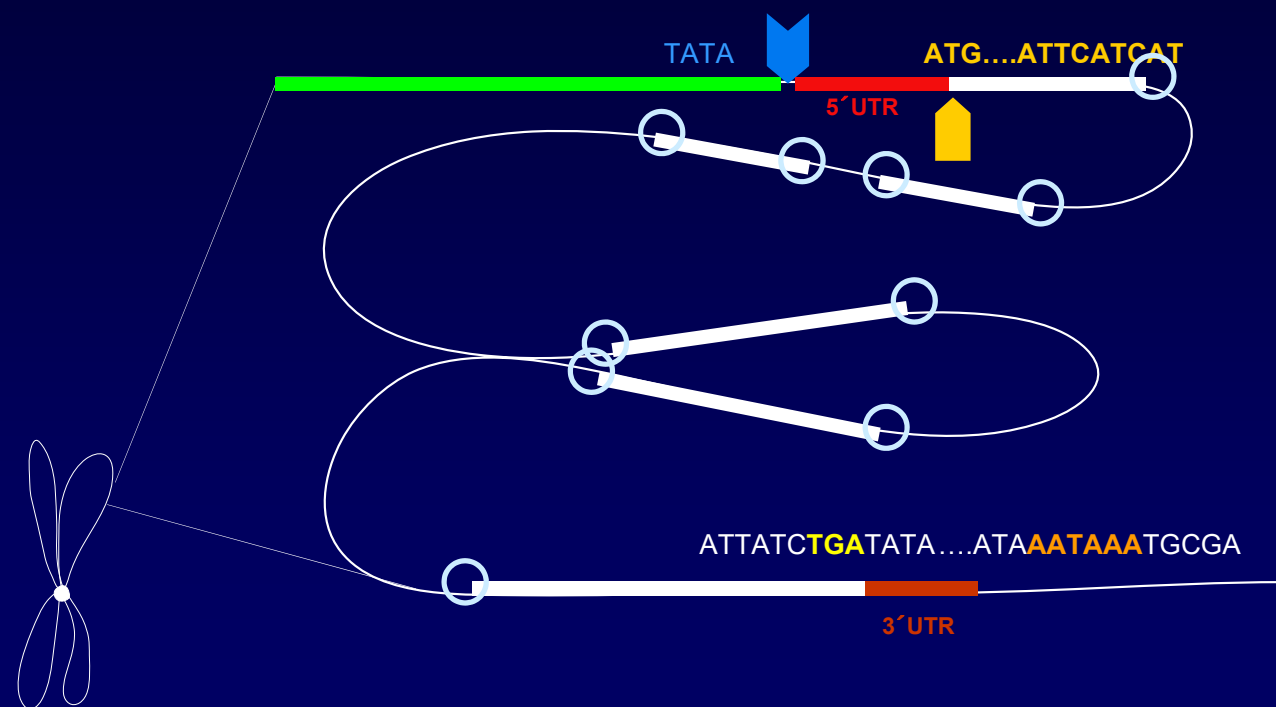
- Benitez, M. and Hejatko, J. Dynamics of cell-fate determination and patterning in the vascular bundles of *Arabidopsis thaliana* (submitted)
- Brady SM, Orlando DA, Lee JY, Wang JY, Koch J, Dinneny JR, Mace D, Ohler U, Benfey PN. 2007. A high-resolution root spatiotemporal map reveals dominant expression patterns. *Science* 318, 801-806.
- de Luis Balaguer MA, Fisher AP, Clark NM, Fernandez-Espinosa MG, Moller BK, Weijers D, Lohmann JU, Williams C, Lorenzo O, Sozzani R. 2017. Predicting gene regulatory networks by combining spatial and temporal gene expression data in *Arabidopsis* root stem cells. *Proc Natl Acad Sci U S A* 114(36): E7632-E7640
- Eden, E., Navon, R., Steinfeld, I., Lipson, D., and Yakhini, Z. (2009). GOrilla: a tool for discovery and visualization of enriched GO terms in ranked gene lists. *BMC Bioinformatics* 10, 48.
- Fucile G, Di Biase D, Nahal H, La G, Khodabandeh S, Chen Y, Easley K, Christendat D, Kelley L, Provart NJ. 2011. ePlant and the 3D data display initiative: integrative systems biology on the world wide web. *PLoS One* 6, e15237.
- Karaïskos N, Wahle P, Alles J, Boltengagen A, Ayoub S, Kipar C, Kocks C, Rajewsky N, Zinzen RP (2017) The *Drosophila* embryo at single-cell transcriptome resolution. *Science* 358, 194-199
- Lecuyer, E., Yoshida, H., Parthasarathy, N., Alm, C., Babak, T., Cerovina, T., Hughes, T.R., Tomancak, P., and Krause, H.M. (2007). Global analysis of mRNA localization reveals a prominent role in organizing cellular architecture and function. *Cell* 131, 174-187.
- Nevo-Dinur, K., Nussbaum-Shochat, A., Ben-Yehuda, S., and Amster-Choder, O. (2011). Translation-independent localization of mRNA in *E. coli*. *Science* 331, 1081-1084

Osnova

- Struktura genů
- Metody analýzy genové exprese
 - Kvalitativní analýza exprese genů
 - Příprava transkripční fúze promotoru analyzovaného genu s reporterovým genem ([gen zpravodaj](#))
 - Příprava translační fúze kódující oblasti analyzovaného genu s reporterovým genem
 - Využití dostupných dat ve [veřejných databázích](#)
 - Tkáňově a [buněčně specifická analýza genové exprese](#)
 - Kvantitativní analýza exprese
 - DNA čipy
 - Next gen transkripční profilování
- Systémová biologie
 - Definice
 - Nástroje
 - Genová ontologie
 - Bayesovské sítě
 - Modelování [molekulárních/genových regulačních sítí](#)

Struktura genů

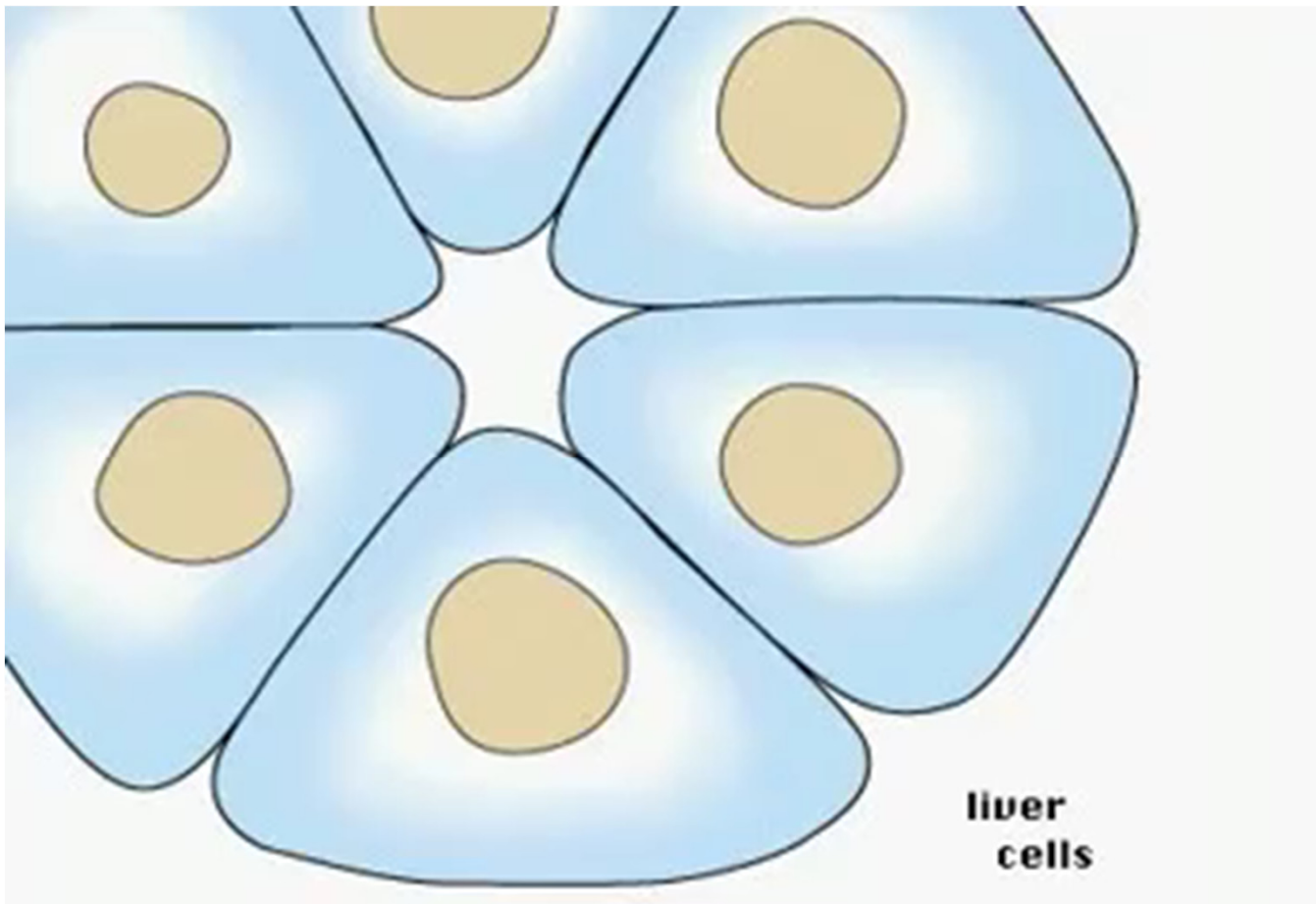
- promotor
- počátek transkripce
- 5'UTR
- počátek translace
- místa sestřihu
- stop kodon
- 3'UTR
- polyadenylační signál



Osnova

- Struktura genů
- Metody analýzy genové exprese

Časoprostorová specifita genové exprese



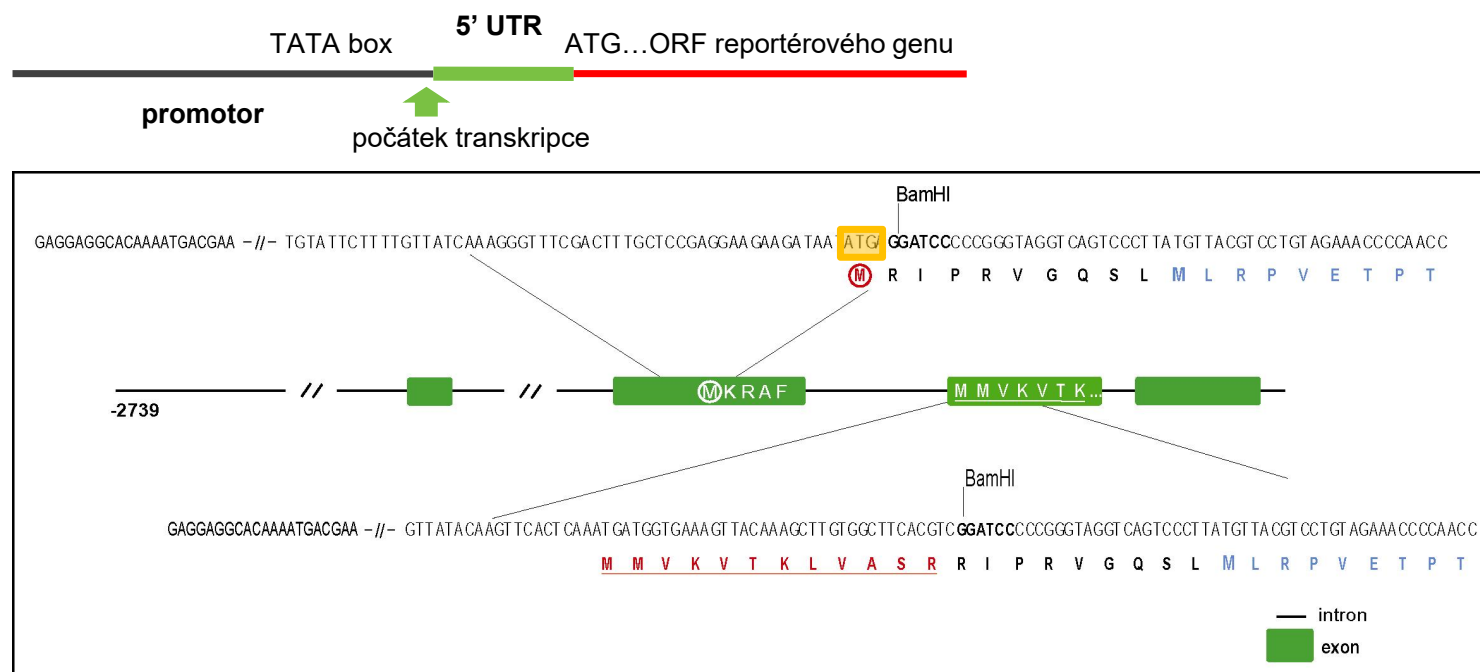
Osnova

- Struktura genů
- Metody analýzy genové exprese
 - Kvalitativní analýza exprese genů
 - Příprava transkripční fúze promotoru analyzovaného genu s reporterovým genem (gen zpravodaj)

Transkripční fúze

□ Příprava transkripční fúze promotoru s reportérem

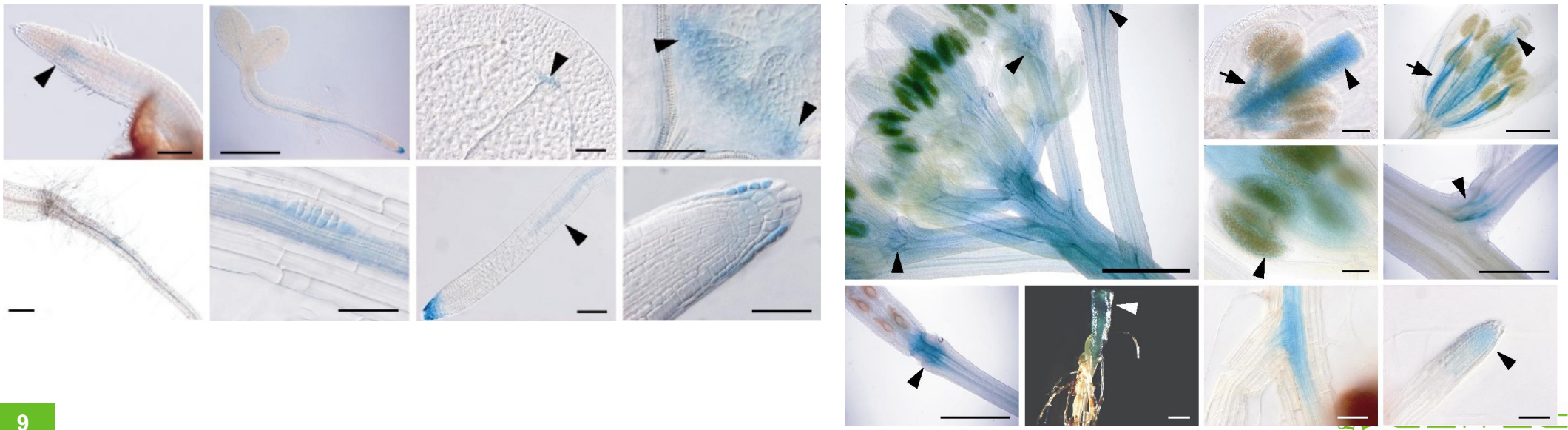
- Identifikace a klonování promotorové oblasti genu
- příprava rekombinantní DNA nesoucí promotor a reportérový gen (uidA, GFP)



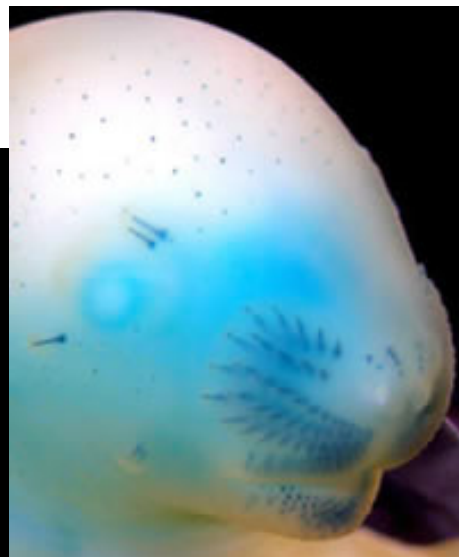
Transkripční fúze

□ Příprava transkripční fúze promotoru s reportérem

- Identifikace a klonování promotorové oblasti genu
- příprava rekombinantní DNA nesoucí promotor a reportérový gen (uidA, GFP)
- příprava transgenních organismů nesoucích tuto rekombinantní DNA a jejich histologická analýza



LacZ reporter in mouse embryos

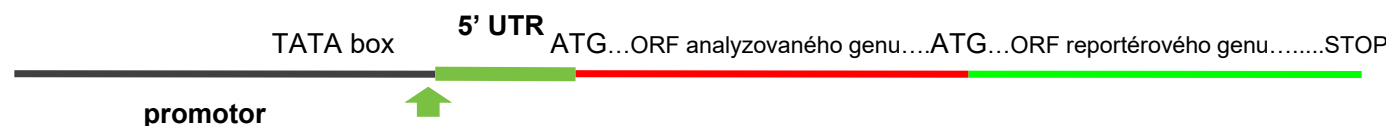


Osnova

- Struktura genů
- Metody analýzy genové exprese
 - Kvalitativní analýza exprese genů
 - Příprava **transkripční fúze** promotoru analyzovaného genu s reporterovým genem (**gen zpravodaj**)
 - Příprava **translační fúze** kódující oblasti analyzovaného genu s reporterovým genem

Translační fúze

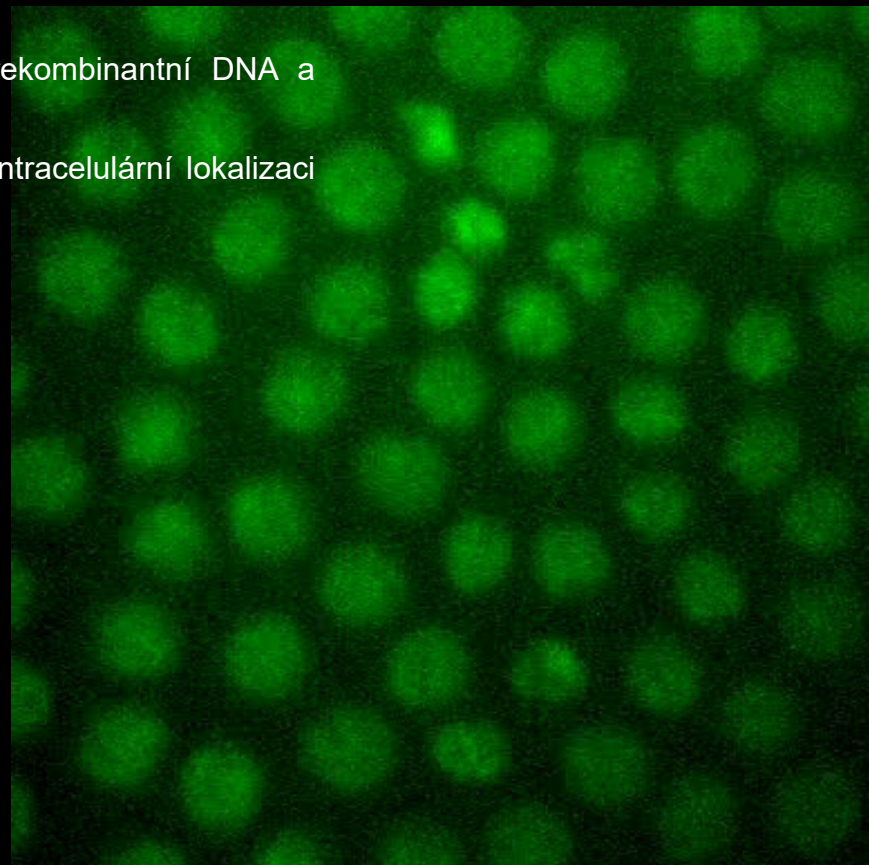
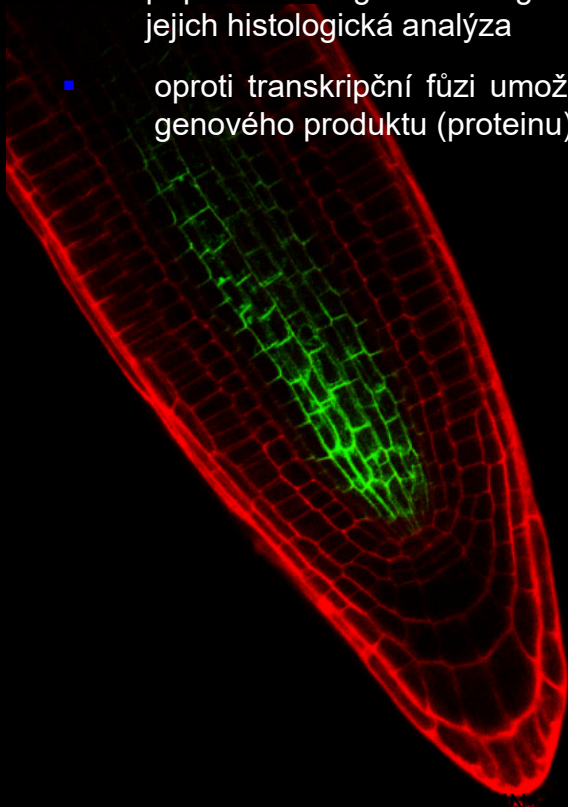
- **Příprava translační fúze kódující oblasti analyzovaného genu s repotérovým genem**
 - Identifikace a klonování promotorové a kódující oblasti analyzovaného genu
 - příprava rekombinantní DNA nesoucí promotor a kódující sekvenci studovaného genu ve fúzi s reportérovým genem (uidA, GFP)



Translační fúze

□ Translační fúze kódující oblasti analyzovaného genu s repotérovým genem

- příprava transgenních organismů nesoucích tuto rekombinantní DNA a jejich histologická analýza
- oproti transkripční fúzi umožňuje analyzovat např. intracelulární lokalizaci genového produktu (proteinu) nebo jeho dynamiku



Translační fůze

- Translační fůze kódující oblasti analyzovaného genu s repotérovým genem

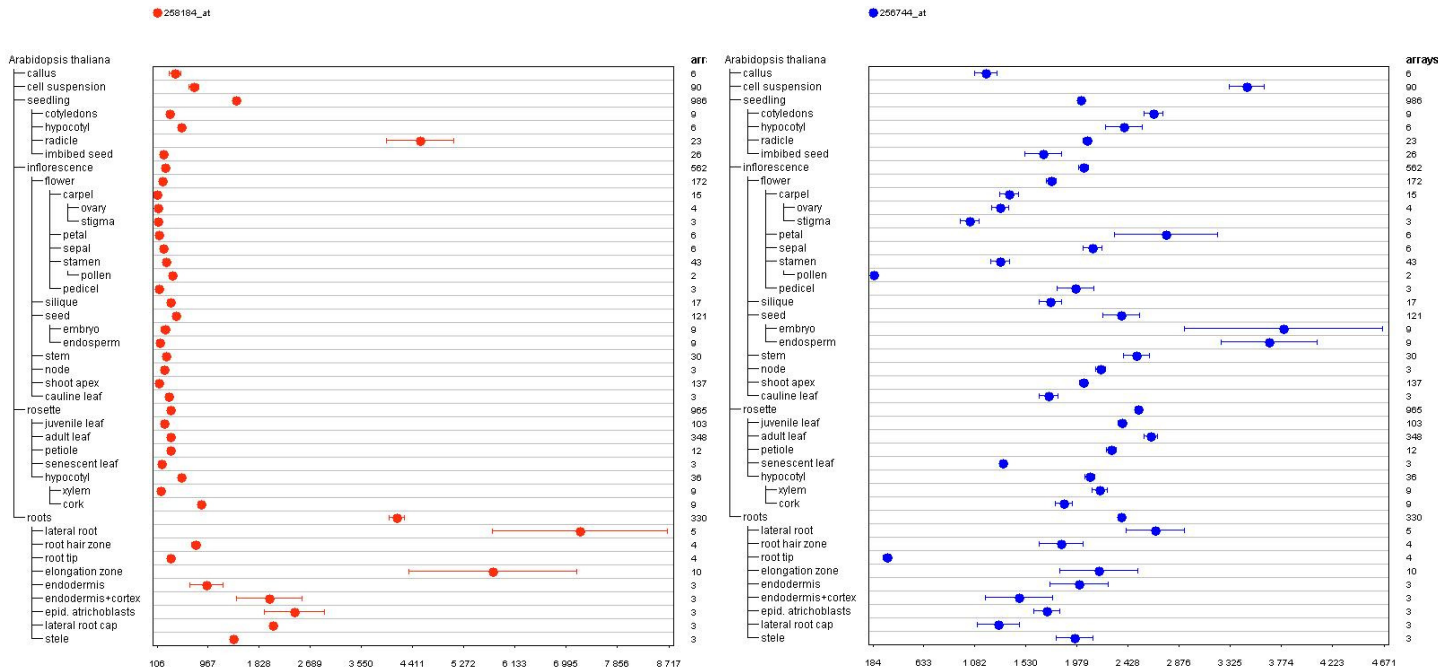


Osnova

- Struktura genů
- Metody analýzy genové exprese
 - Kvalitativní analýza exprese genů
 - Příprava transkripční fúze promotoru analyzovaného genu s reporterovým genem ([gen zpravodaj](#))
 - Příprava translační fúze kódující oblasti analyzovaného genu s reporterovým genem
 - Využití dostupných dat ve [veřejných databázích](#)

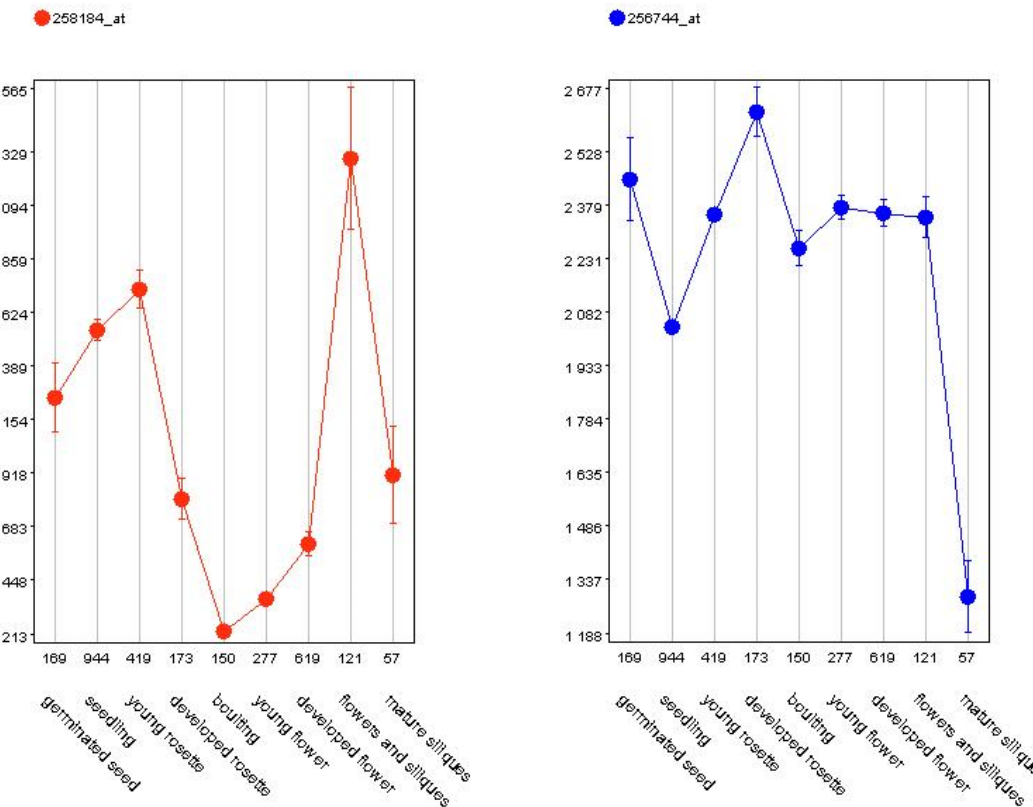
Databáze

- Analýza exprese pomocí Genevestigator (*AHP1* a *AHP2*, *Arabidopsis*, Affymetrix ATH 22K Array)



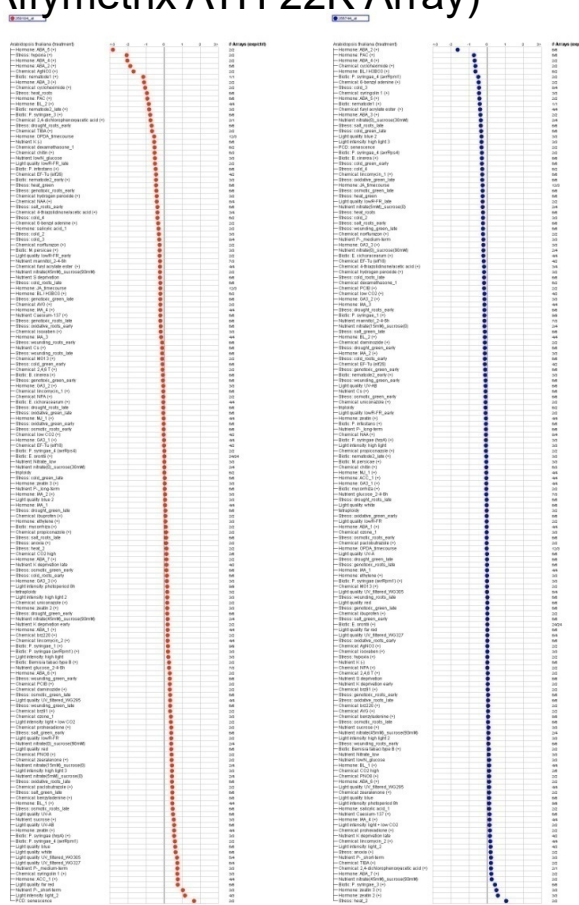
Databáze

- Analýza exprese pomocí Genevestigator (*AHP1* a *AHP2*, *Arabidopsis*, Affymetrix ATH 22K Array)



Databáze

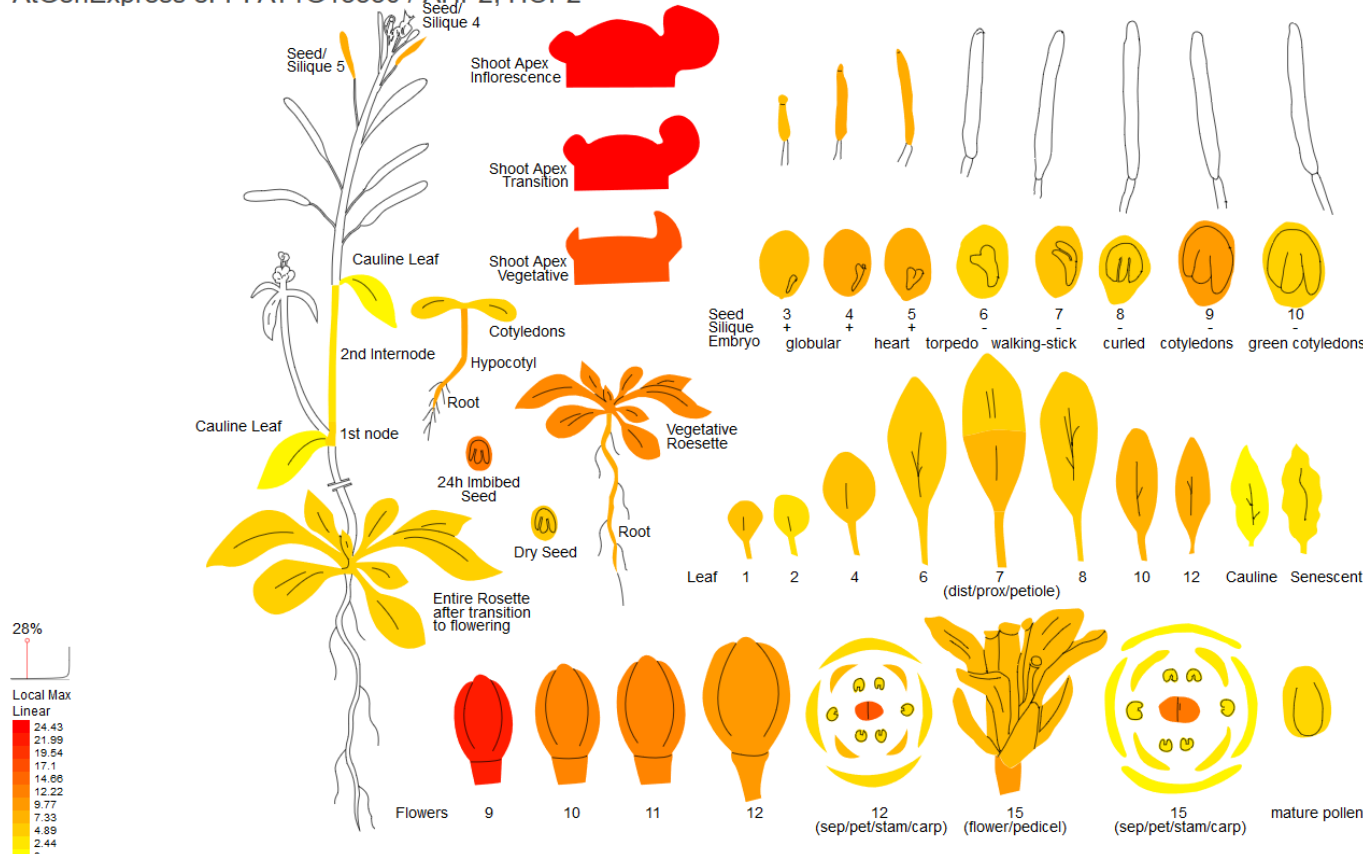
- **Analýza exprese pomocí Genevestigator (*AHP1* a *AHP2*, *Arabidopsis*, Affymetrix ATH 22K Array)**



Databáze

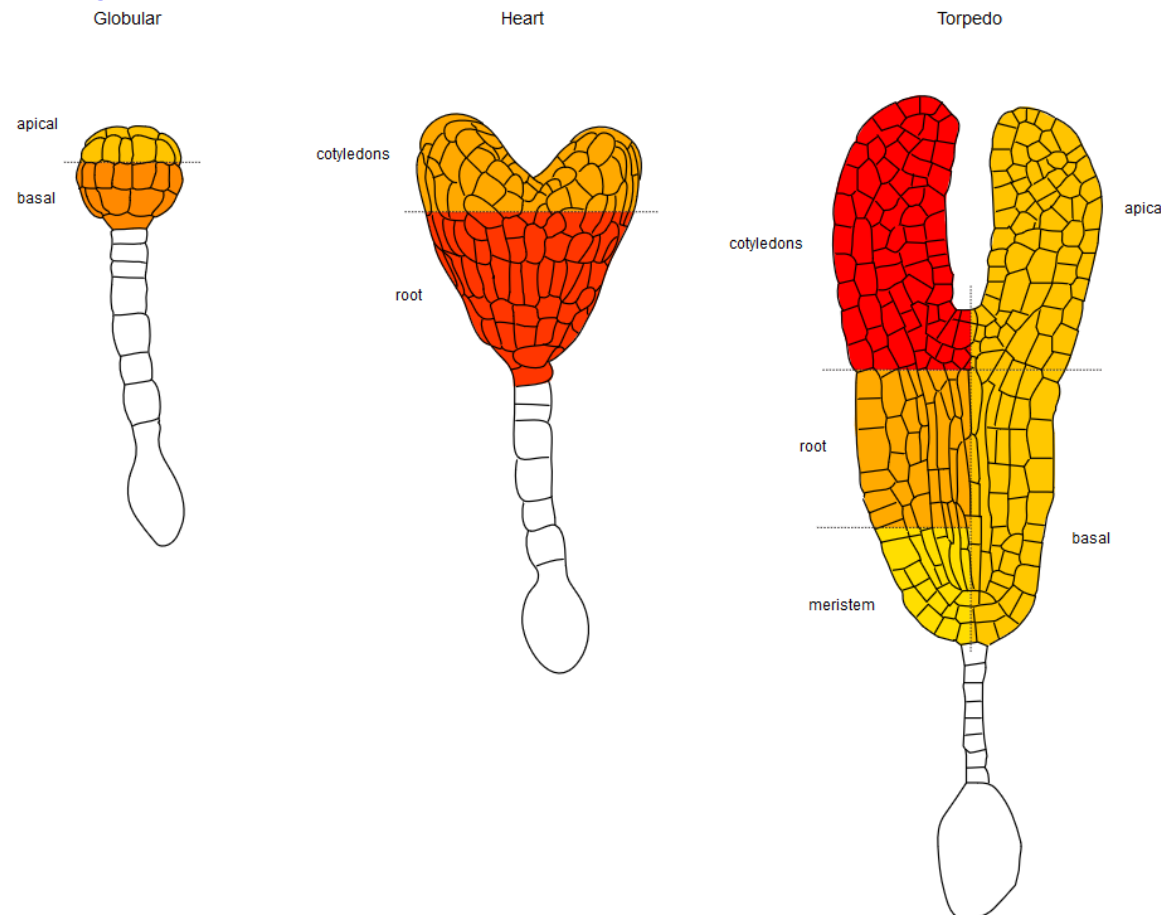
□ Analýza exprese pomocí ePlant

AtGenExpress eFP: AT1G13330 / AHP2, HOP2



Databáze

Analýza exprese pomocí [ePlant](#)

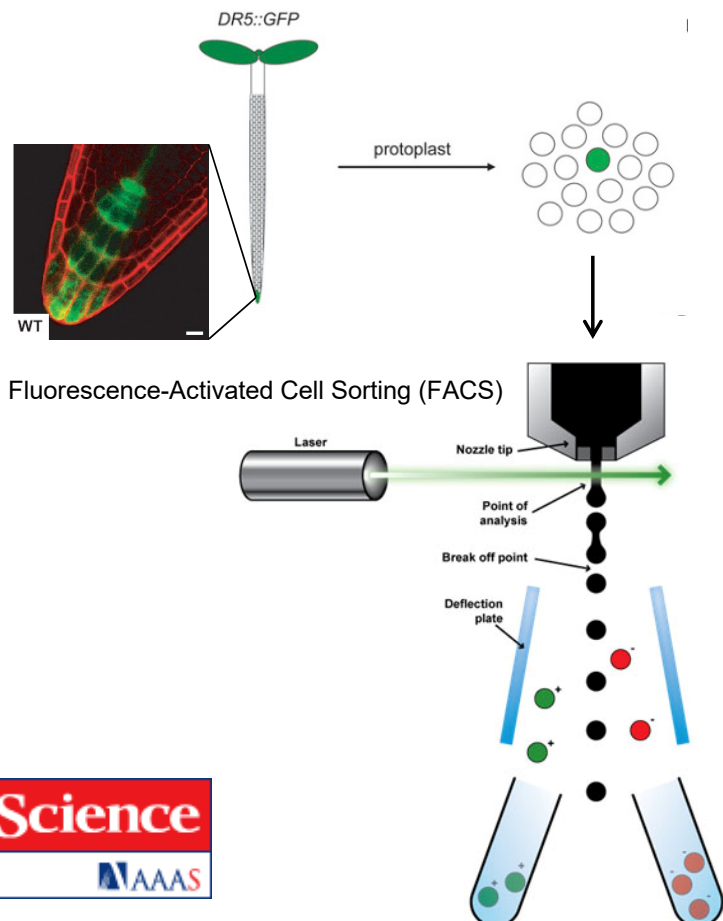


Osnova

- Struktura genů
- Metody analýzy genové exprese
 - Kvalitativní analýza exprese genů
 - Příprava transkripční fúze promotoru analyzovaného genu s reporterovým genem (**gen zpravodaj**)
 - Příprava translační fúze kódující oblasti analyzovaného genu s reporterovým genem
 - Využití dostupných dat ve **veřejných databázích**
 - Tkáňově a **buněčně specifická analýza genové exprese**

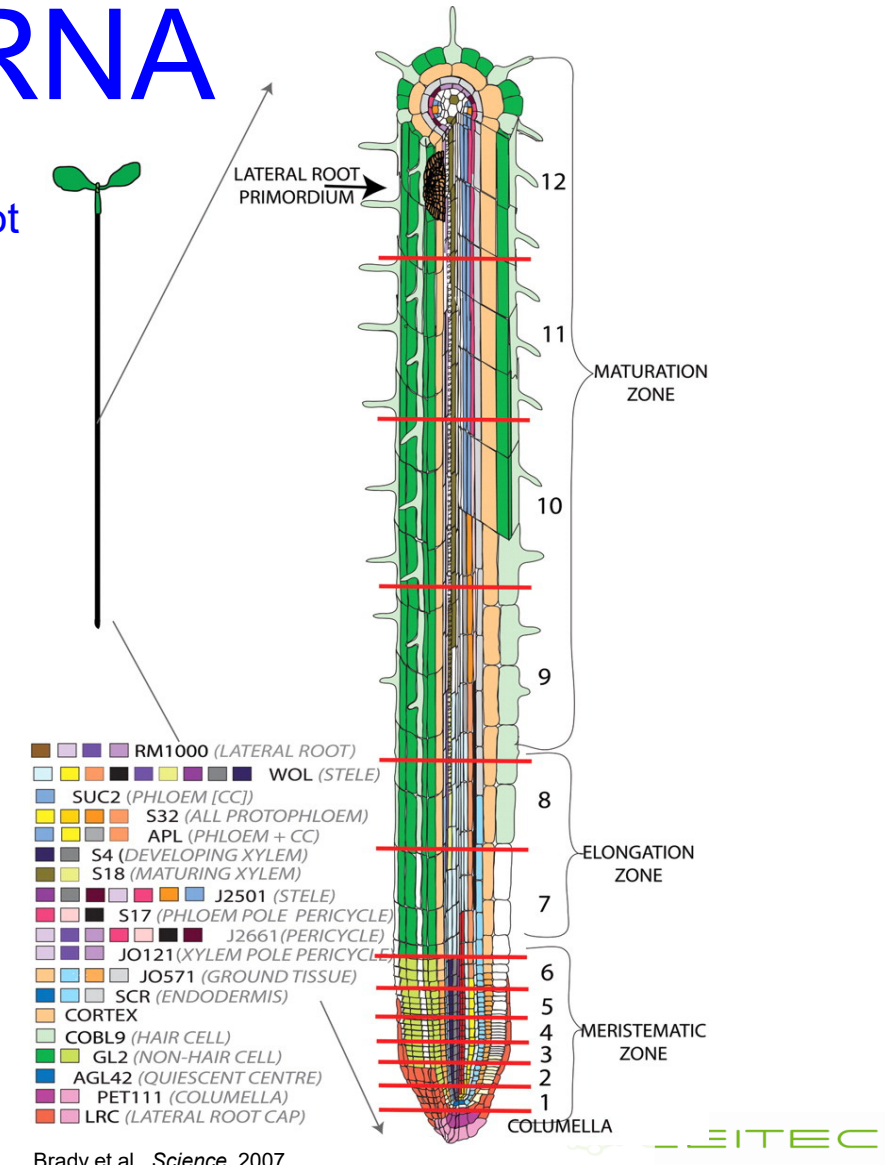
Expression Maps - RNA

□ High-Resolution Expression Map in Arabidopsis Root



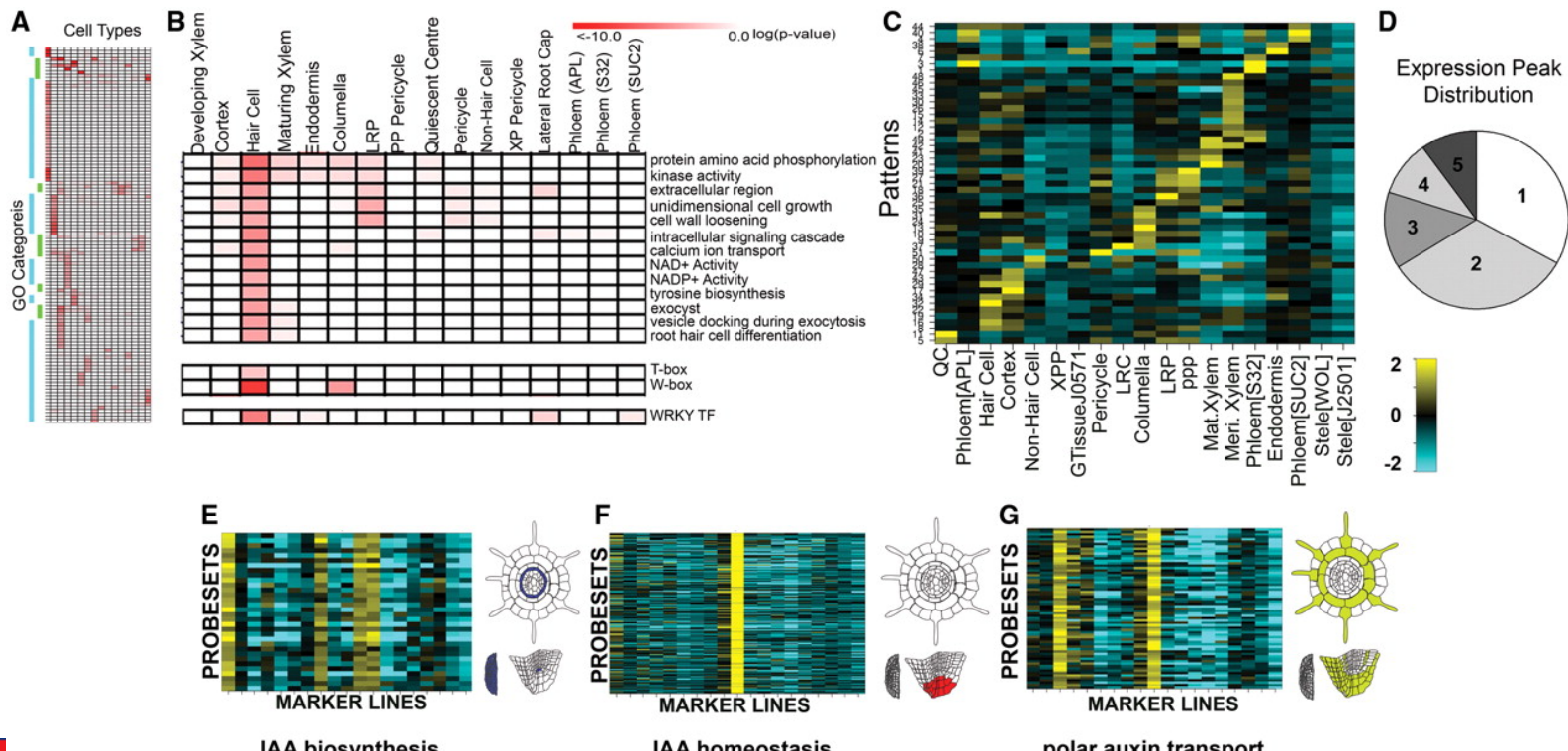
Science
AAAS

22



Expression Maps - RNA

- High-Resolution Expression Map in Arabidopsis Root



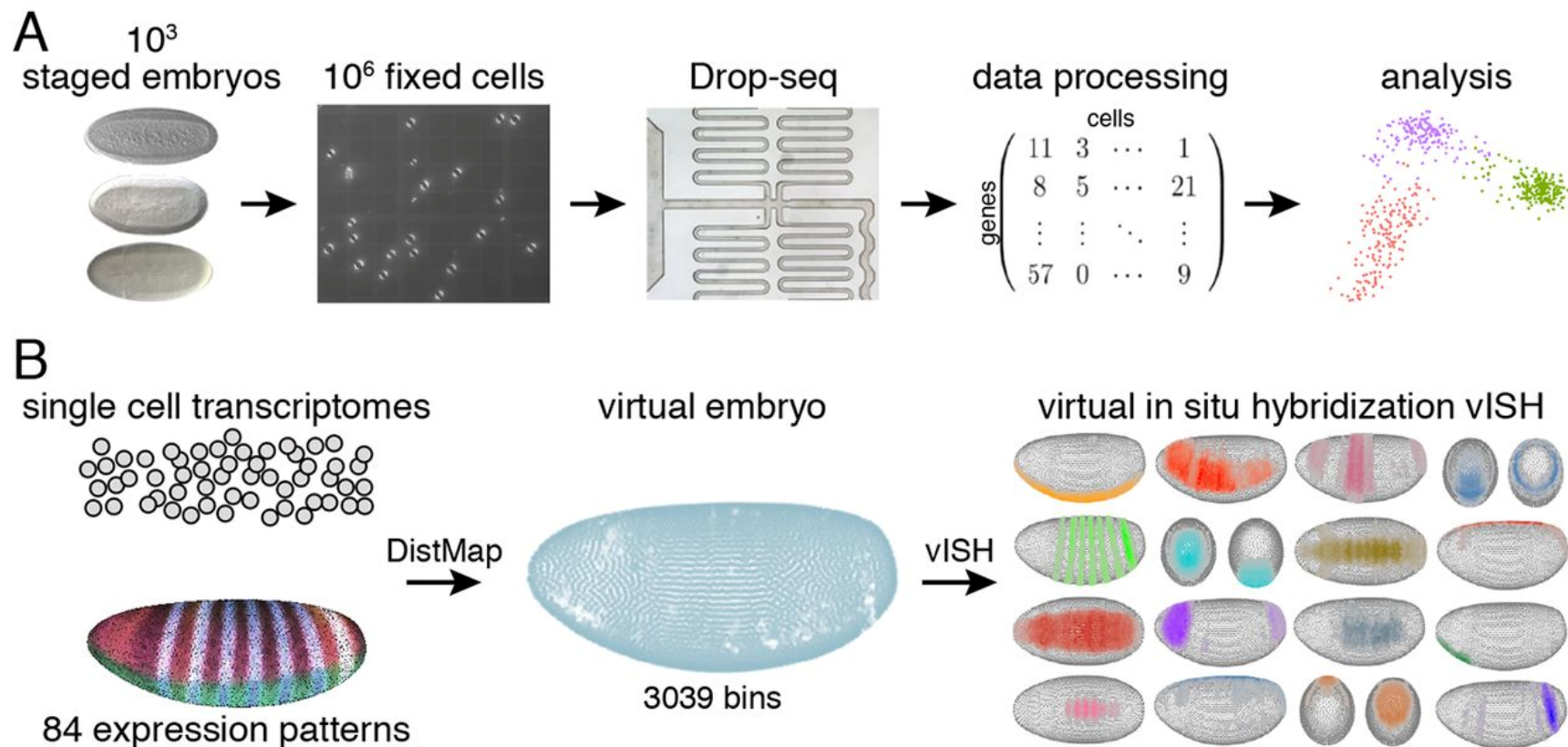
Science

AAAS

Brady et al., Science, 2007

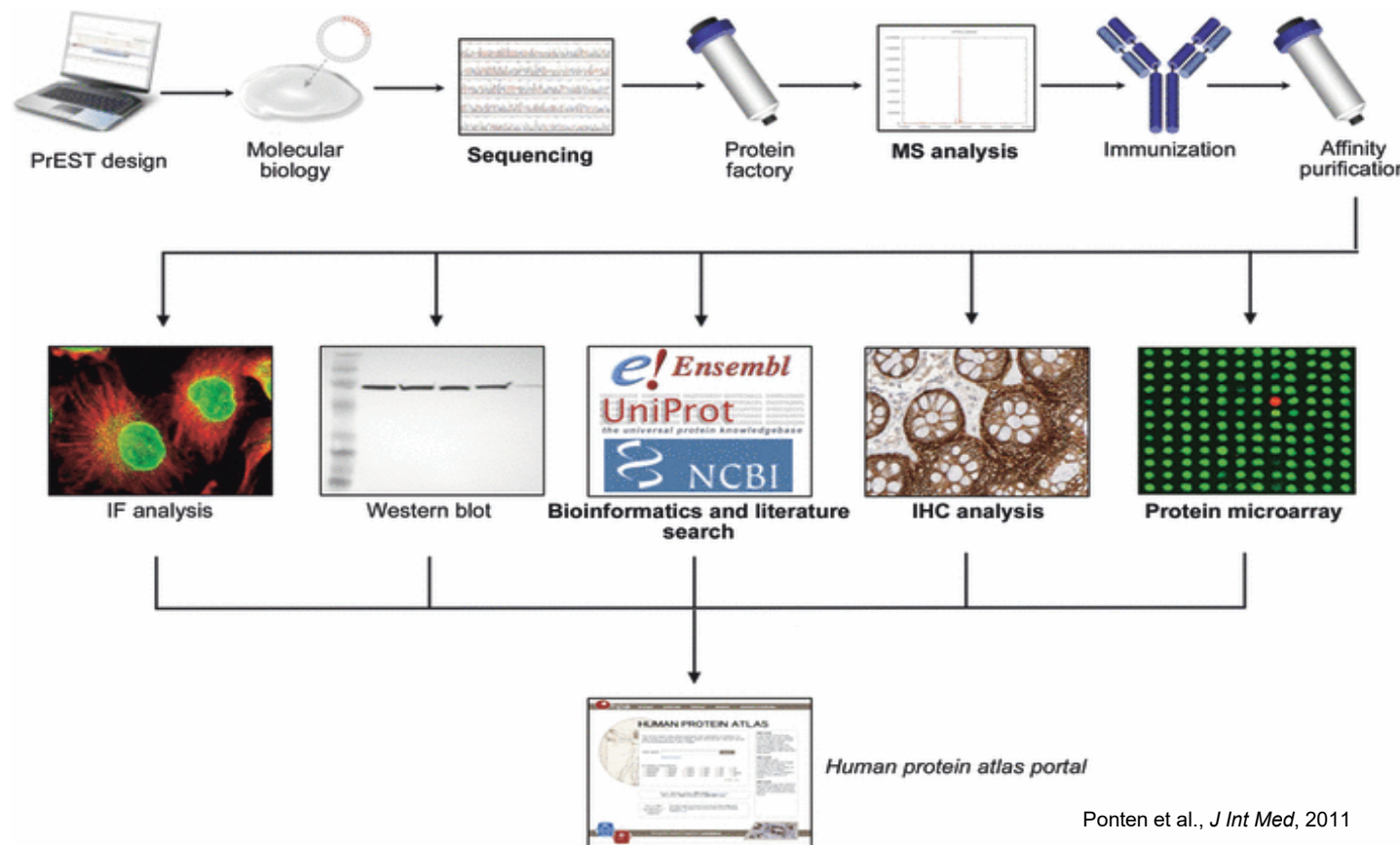
Expression Maps - RNA

□ High-Resolution Expression Map in Drosophilla



Expression Maps - Proteins

- Human Protein Atlas



Expression Maps - Proteins

- Human Protein Atlas (<http://www.proteinatlas.org/>)

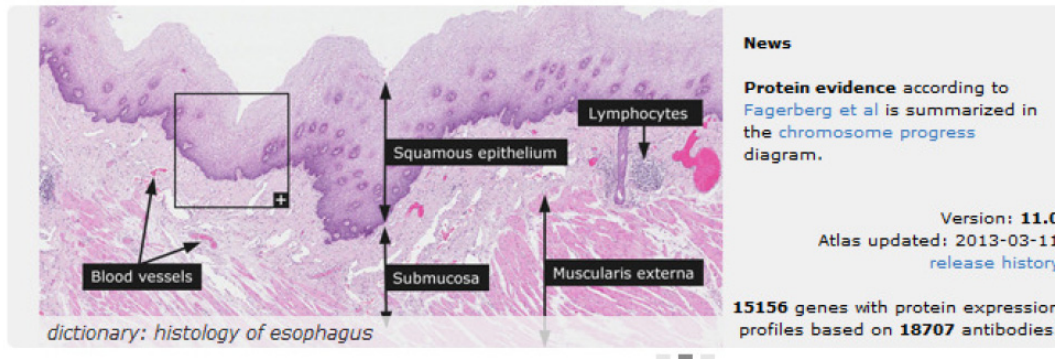
THE HUMAN PROTEIN ATLAS

ABOUT & HELP

SEARCH ? »

[Fields »](#)

e.g. CD44, ELF3, KLK3, or use Fields to search specific fields such as [protein_class:Transcription factors](#) or [chromosome:X](#)



Knut och Alice
Wallenbergs
Stiftelse

The Human Protein Atlas project is funded by the Knut & Alice Wallenberg foundation.



Expression Maps - Proteins

- Human Protein Atlas (<http://www.proteinatlas.org/>)

The figure illustrates the Human Protein Atlas interface. It features three main components: a fluorescence microscopy image showing cells with green and red staining, a histology image of tissue with brown staining, and two summary tables.

SUBCELLULAR LOCATION SUMMARY

Main location(s)	Nucleus but not nucleoli
Additional location(s)	
Staining summary	Localized to the nucleus but excluded from the nucleoli.
Reliability (APE)	High
Antibodies in assay	CAB039238, CAB039239

NORMAL TISSUE & ORGAN SUMMARY

Expression summary	Fractions of cells showed weak nuclear and/or cytoplasmic expression.
Tissue specificity	Expressed in 11 out of 82 cell types
Reliability (APE)	High
Antibodies in assay	CAB002973, CAB039238, CAB039239

Organ	No of cell types	Protein expression
CNS (brain)	11	[Progress bar]
Hematopoietic (blood)	8	[Progress bar]
Liver and pancreas	5	[Progress bar]
Digestive (GI-tract)	13	[Progress bar]
Respiratory (lung)	4	[Progress bar]
Cardiovascular	1	[Progress bar]
Female tissues	13	[Progress bar]
Placenta	2	[Progress bar]
Male tissues	5	[Progress bar]
Urinary tract (kidney)	3	[Progress bar]
Skin and soft tissues	14	[Progress bar]
Endocrine tissues	3	[Progress bar]

Osnova

- Struktura genů
- Metody analýzy genové exprese
 - Kvalitativní analýza exprese genů
 - Příprava transkripční fúze promotoru analyzovaného genu s reporterovým genem (gen zpravodaj)
 - Příprava translační fúze kódující oblasti analyzovaného genu s reporterovým genem
 - Využití dostupných dat ve veřejných databázích
 - Tkáňově a buněčně specifická analýza genové exprese
 - Kvantitativní analýza exprese
 - DNA čipy

DNA čipy

- metoda umožňující rychlé porovnání velkého množství genů/proteinů mezi testovaným vzorkem a kontrolou
- nejčastěji jsou používané **oligo DNA čipy**
 - k dispozici komerčně dostupné sady pro **celý genom**
 - firma Operon (Qiagen), **29.110 70-mer oligonukleotidů** reprezentujících **26.173 genů** kódujících **proteiny**, **28.964 transkriptů** a **87 microRNA genů** *Arabidopsis thaliana*
 - možnost používat pro přípravu čipů **fotolitografické techniky**-usnadnění syntézy oligonukleotidů např. pro celý genom člověka (cca $3,1 \times 10^9$ bp) je touto technikou možno připravit **25-mery** v pouze **100 krocích**



Affymetrix ATH1 *Arabidopsis* genome array

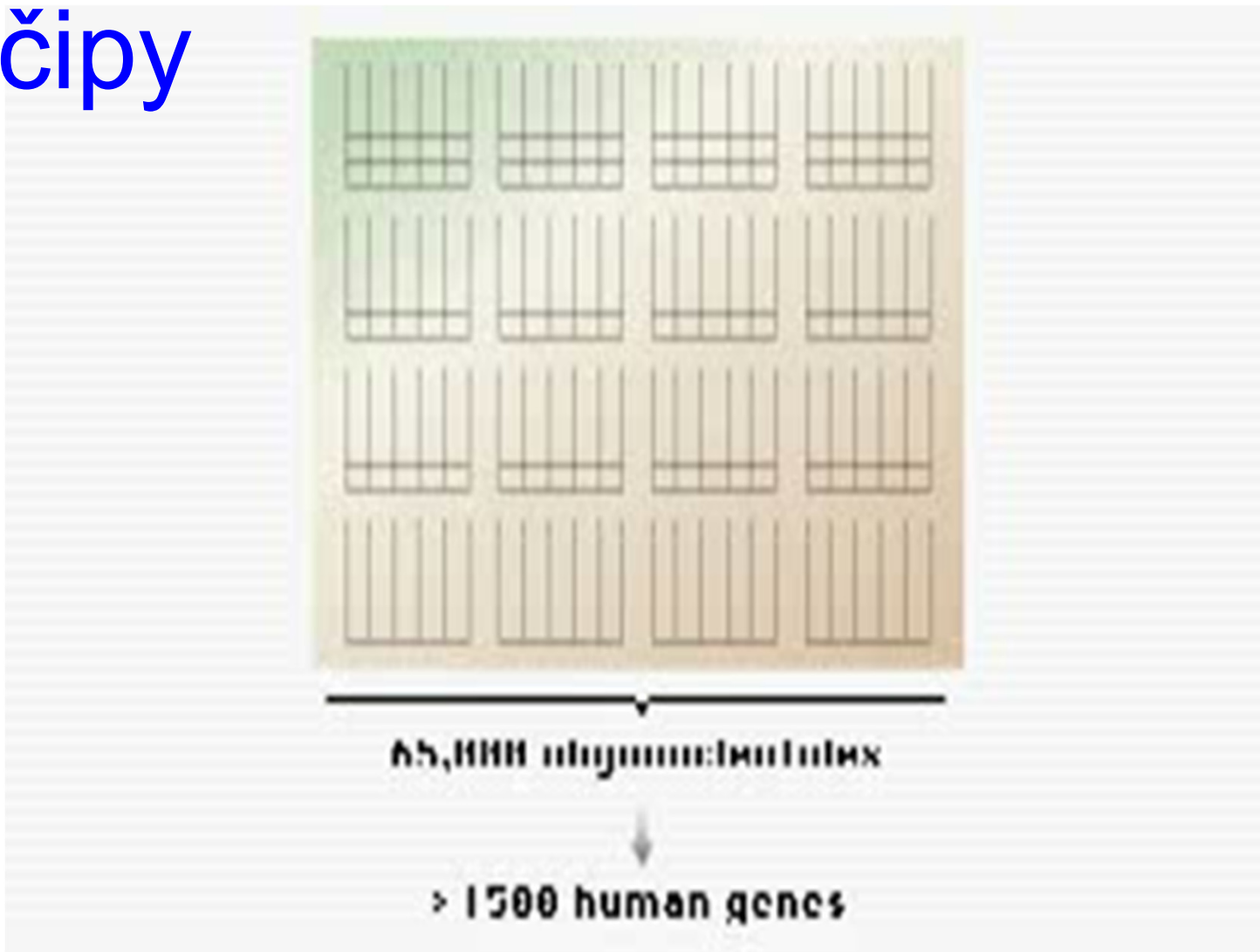
čipy nejen pro analýzu exprese, ale např. i genotypování (SNP polymorfizmy, sekvenování pomocí čipů, ...)

Critical Specifications

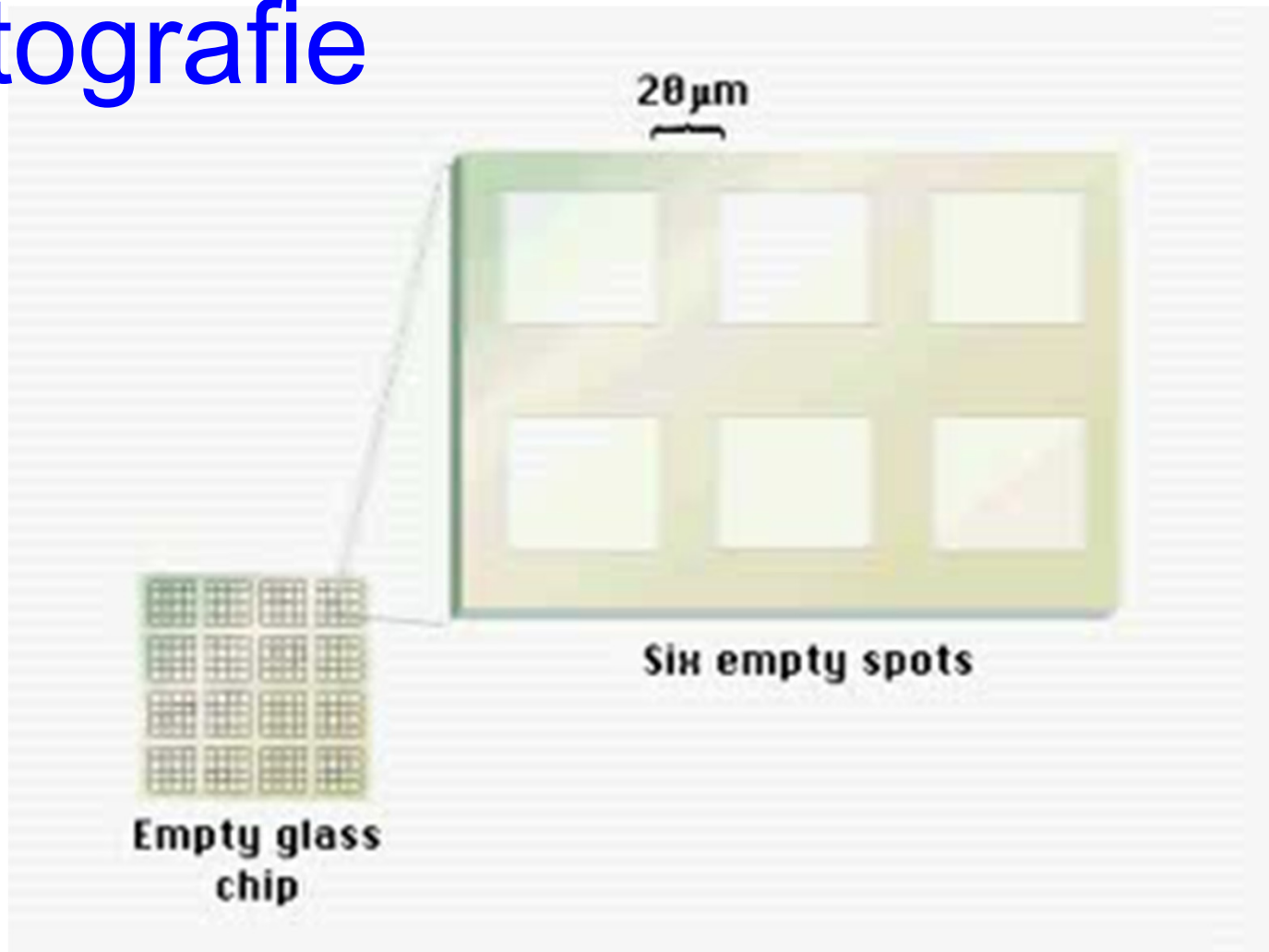
Number of arrays	One
Number of sequence represented	>24,000 gene sequences
Feature size	18 µm
Oligonucleotide probe length	25-mer
Probe pairs/sequence	11
Control sequences	<i>E. coli</i> genes <i>bioB</i> , <i>bioC</i> , <i>bioD</i> , <i>B. subtilis</i> gene <i>lysA</i> , Phage P1 <i>cro</i> gene, <i>Arabidopsis</i> maintenance genes GAPDH, Ubiquitin, and Actin
Detection sensitivity	1:100,000*

*As measured by detection in comparative analysis between a complex target containing spiked control transcriptions and a complex target with no spikes.

DNA čipy



Fotolithografie



DNA čipy

- pro správnou interpretaci výsledků je nutná dobrá znalost pokročilých statistických metod
- je nutné zahrnout dostatečný počet kontrol i opakování
- kontrola na **přesnost měření** (opakované měření na několika čipech se stejným vzorkem, vynesení stejných vzorků analyzovaných na různých čipech proti sobě)
- kontrola **reproducibility měření** (opakované měření s různými vzorky, izolovanými za stejných podmínek na stejném čipu-stejně podmínky proti sobě)
- identifikace hranice spolehlivého měření
- konečně **vynesení experimentu proti kontrole** nebo **různých podmínek** proti sobě – vlastní výsledek

Slide (name : description)	External ID	Replicate (id :name)	Replicate type	Reverse replicate	Sample	Experimental variables	Label	Get Data
HoekengaS7 [*]: Aluminum Stress 1 [strong spatial bias]	AFGC: 7304	63: Aluminum Stress	technical		7304_Cy3_7305_Cy5	no treatment, (pool of 3, 8, and 24 hours)	Cy3	Download
					7304_Cy5_7305_Cy3	Aluminum (50 5M AlCl ₃ , pool of 3, 8, and 24 hours)	Cy5	
HoekengaS8 [*]: Aluminum Stress 2 [strong spatial bias]	AFGC: 7305	64: Aluminum Stress	technical	63	7304_Cy5_7305_Cy3	Aluminum (50 5M AlCl ₃ , pool of 3, 8, and 24 hours)	Cy3	Download
					7304_Cy3_7305_Cy5	no treatment, (pool of 3, 8, and 24 hours)	Cy5	

- v současnosti je již velké množství výsledků různých experimentů lokalizovaných ve veřejně přístupných databázích

Che et al., 2002

Osnova

- Struktura genů
- Metody analýzy genové exprese
 - Kvalitativní analýza exprese genů
 - Příprava transkripční fúze promotoru analyzovaného genu s reporterovým genem (**gen zpravodaj**)
 - Příprava translační fúze kódující oblasti analyzovaného genu s reporterovým genem
 - Využití dostupných dat ve **veřejných databázích**
 - Tkáňově a **buněčně specifická** analýza genové exprese
 - Kvantitativní analýza exprese
 - DNA a proteinové čipy
 - **Next gen transkripční profilování**
 - Viz přístupy systémové biologie níže

Klíčové koncepty – analýza genové exprese

- Promotory a další regulační elementy řídí genovou expresi s různou mírou časoprostorové specificity
- Genovou expresi lze studovat pomocí kvalitativních nebo kvantitativních přístupů
- Cenné údaje o specifitě genové exprese lze získat i ve veřejně dostupných databázích a to i na úrovni jednotlivých buněk

Osnova

- Struktura genů
- Metody analýzy genové exprese
 - Kvalitativní analýza exprese genů
 - Příprava transkripční fúze promotoru analyzovaného genu s reporterovým genem (gen zpravodaj)
 - Příprava translační fúze kódující oblasti analyzovaného genu s reporterovým genem
 - Využití dostupných dat ve veřejných databázích
 - Tkáňově a buněčně specifická analýza genové exprese
 - Kvantitativní analýza exprese
 - DNA čipy
 - Next gen transkripční profilování
 - Viz přístupy systémové biologie níže
- Systémová biologie
 - Definice

Systémová biologie - definice

Systémová biologie je vědecký směr v biologii využívající přístupy dalších věd, především biochemie, chemie, informatiky a matematiky. Zabývá se studiem biologických funkcí a mechanizmů vzniklých následkem komplexních interakcí v biologických systémech.

Základní myšlenkou je komplexní pohled, opak reduktionismu (který je převládajícím paradigmatem například v molekulární biologii), tedy předpoklad, že systém je více než součet jeho částí.

Systémová biologie často pracuje s modely, které jsou vytvářeny matematickými a informatickými přístupy na základě biologických dat, jejichž vlastnosti jsou posléze porovnávány s vlastnostmi živých systémů ([Wikipedia](#)).

Systémová biologie - definice

Systémová biologie se zabývá studiem biologických systémů, jejichž chování nelze redukovat na *lineární součet funkcí jejich částí*. Systémová biologie nemusí nutně zahrnovat velké množství komponent nebo rozsáhlých datových souborů, jako je tomu v genomice nebo konektomice, ale často vyžaduje metody kvantitativního modelování vypůjčené z fyziky (*Nature*).

Systémová biologie - definice

Definice dle Dr. Nathana Price,

zástupce ředitele Ústavu pro systémovou biologii, Seattle, USA; https://www.youtube.com/watch?v=OrXRI_8UFHU.



Výsledky –omických studií vs. biologicky relevantní závěry

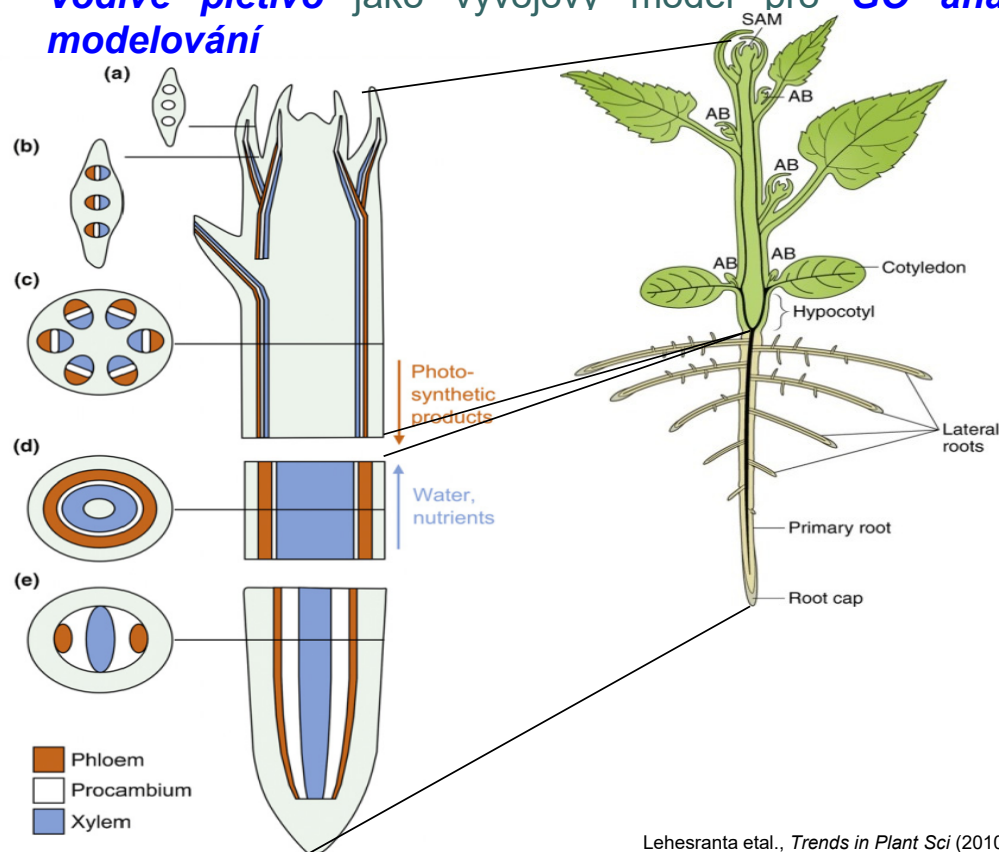
- Výsledky –omických studií reprezentují **enormní množství dat**, např. geny s rozdílnou expresí. Ale jak z nich získat **biologicky relevantní závěry**?

Ddii, Amaud et al., *bioRxiv* 10.1101/2023.07.26.550726

gene	locus	sample_1	sample_2	status	value_1	value_2	log2(fold_change)	test_stat	p_value	q_value	significant
AT1G07795	1:2414285-2414967	WT	MT	OK	0	1,1804	1.79769e+308	1.79769e+308	6.88885e-05	0.00039180	1 yes
HRS1	1:4556891-4558708	WT	MT	OK	0	0.696583	1.79769e+308	1.79769e+308	6.61994e-06	4.67708e-05	yes
ATMLO14	1:9227472-9232296	WT	MT	OK	0	0.514609	1.79769e+308	1.79769e+308	9.74219e-05	0.00053505	5 yes
NRT1.6	1:9400663-9403789	WT	MT	OK	0	0.877865	1.79769e+308	1.79769e+308	3.2692e-08	3.50131e-07	yes
AT1G27570	1:9575425-9582376	WT	MT	OK	0	2,0829	1.79769e+308	1.79769e+308	9.76039e-06	6.647e-05	yes
AT1G60095	1:22159735-22162419	WT	MT	OK	0	0.688588	1.79769e+308	1.79769e+308	9.95901e-08	9.84992e-07	yes
AT1G03020	1:698206-698515	WT	MT	OK	0	1,78859	1.79769e+308	1.79769e+308	0.00913915	0.0277958	yes
AT1G13609	1:4662720-4663471	WT	MT	OK	0	3,55814	1.79769e+308	1.79769e+308	0.00021683	0.00108079	yes
AT1G21550	1:7553100-7553876	WT	MT	OK	0	0.562868	1.79769e+308	1.79769e+308	0.00115582	0.00471497	yes
AT1G22120	1:7806308-7809632	WT	MT	OK	0	0.617354	1.79769e+308	1.79769e+308	2.48392e-06	1.91089e-05	yes
AT1G31370	1:11238297-11239363	WT	MT	OK	0	1,46254	1.79769e+308	1.79769e+308	4.83523e-05	5.46603e-03	3 yes
APUM10	1:13253397-13255570	WT	MT	OK	0	0.581031	1.79769e+308	1.79769e+308	7.87855e-06	0.00037473	yes
AT1G48700	1:18010728-18012871	WT	MT	OK	0	0.556525	1.79769e+308	1.79769e+308	6.53917e-05	0.00037473	6 yes
AT1G59077	1:21746209-21833195	WT	MT	OK	0	138,886	1.79769e+308	1.79769e+308	0.00122789	0.00496816	yes
AT1G60050	1:22121549-22123702	WT	MT	OK	0	0.370087	1.79769e+308	1.79769e+308	0.00117953	0.0048001	yes
AT4G15242	4:8705786-8706997	WT	MT	OK	0,00930712	17,9056	10,9098	-4,40523	1.05673e-05	7.13983e-05	yes
AT5G33251	5:12499071-12500433	WT	MT	OK	0,0498375	52,2837	10,0349	-9,8119	0	0	yes
AT4G12520	4:7421055-7421738	WT	MT	OK	0,0195111	15,8516	9,66612	-3,90043	9.60217e-05	0,000528904	yes
AT1G60020	1:22100651-22105276	WT	MT	OK	0,0118377	7,18823	9,24611	-7,503826	1.9504e-14	1.4988e-12	yes
AT5G15360	5:4987235-4989182	WT	MT	OK	0,0988273	56,4834	9,1587	-10,4392	0	0	yes

Vývoj rostlinných vodivých pletiv

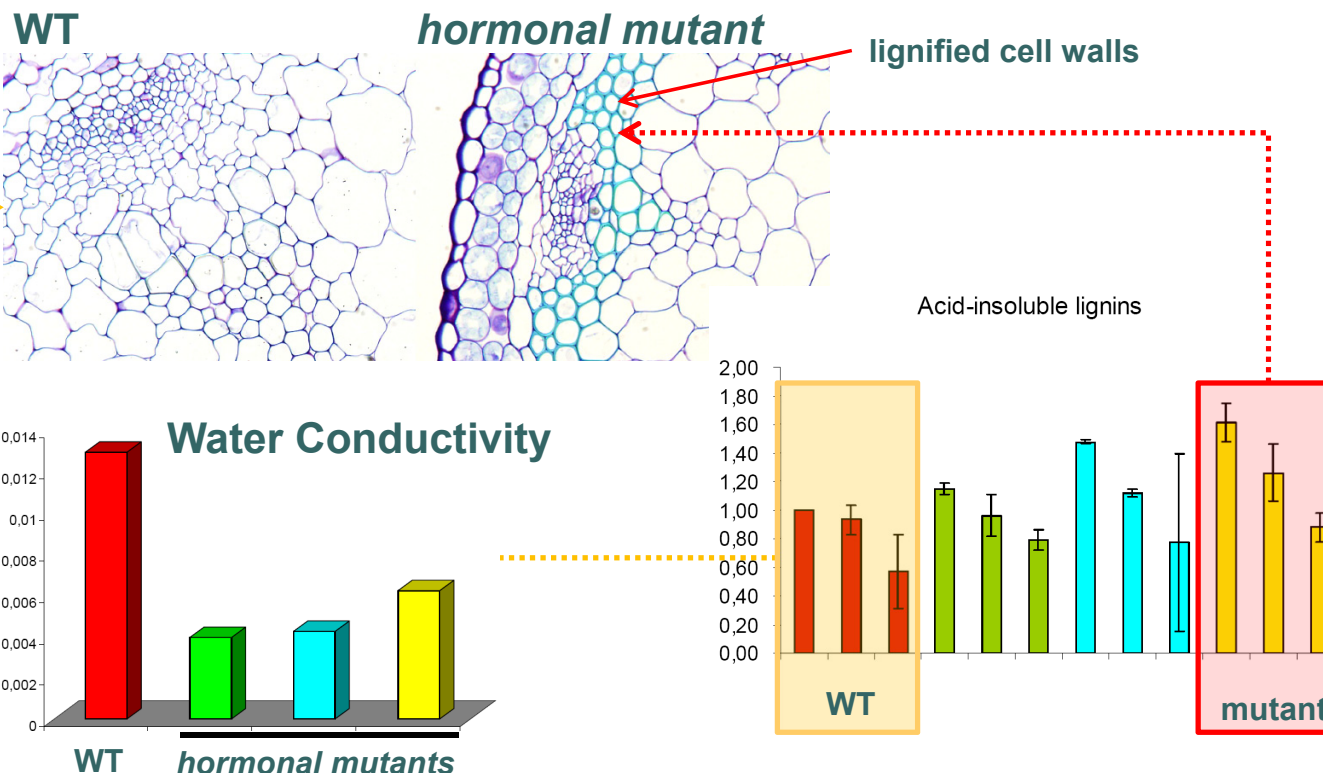
- **Vodivé pletivo** jako vývojový model pro **GO analýzu** a **MRN modelování**



Lehtesranta et al., *Trends in Plant Sci* (2010)

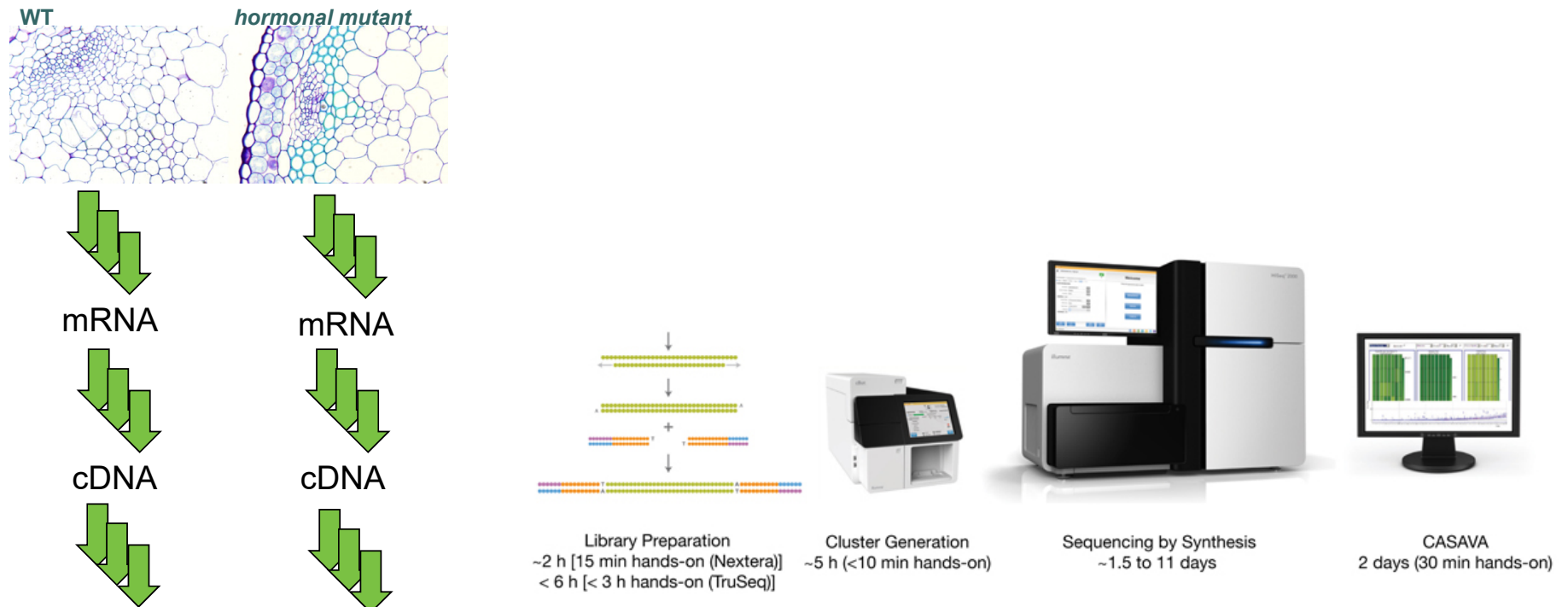
Hormonální regulace vývoje rostlinných vodivých pletiv

- Rostlinné **hormony regulují ukládání ligninu** v buněčných stěnách a **transport vody xylemem**



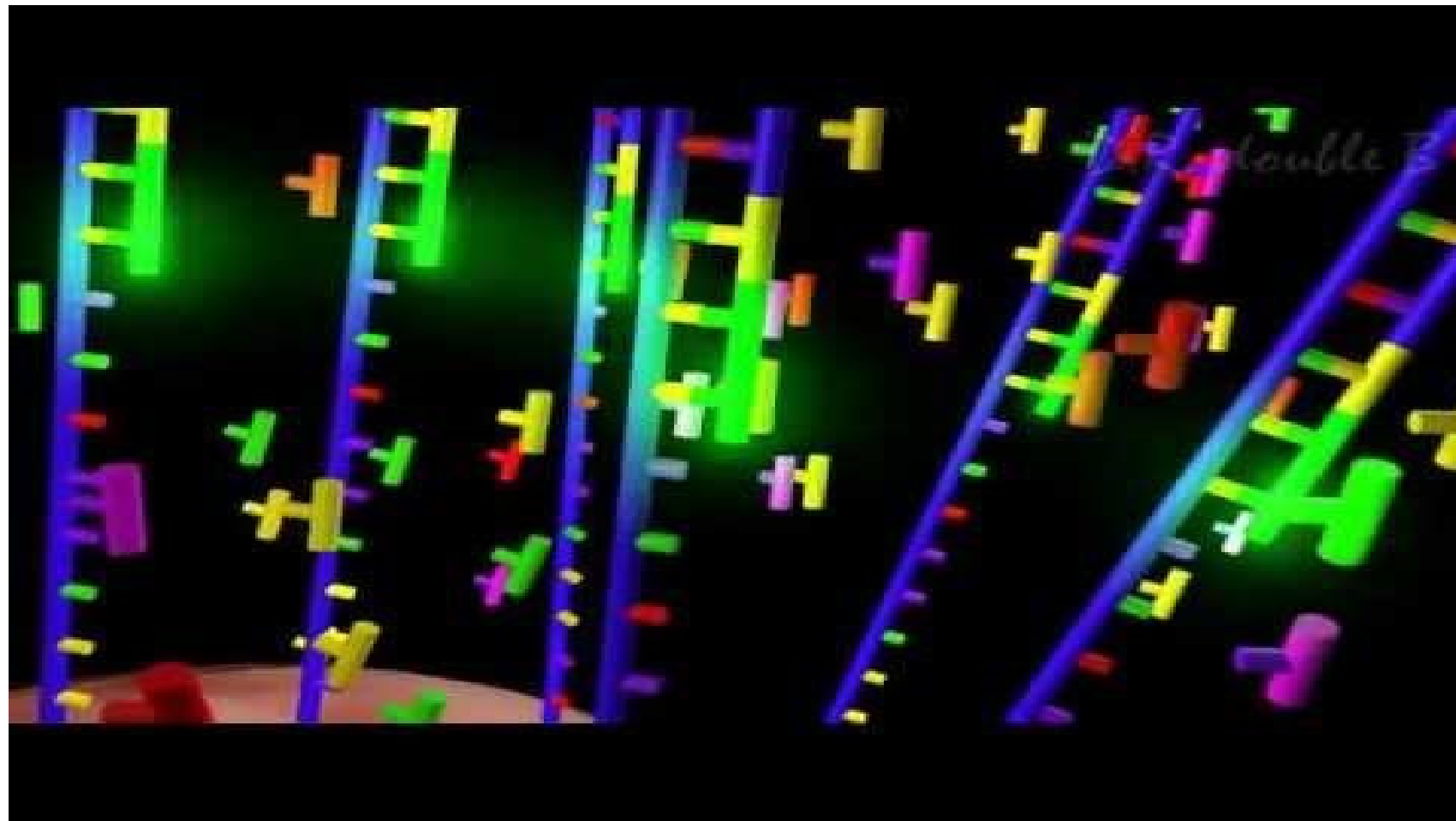
Hormonální regulace vývoje rostlinných vodivých pletiv

- *Transkripční profilování pomocí sekvenování RNA*



Sekvenování pomocí Illumina a určení přesného **počtu transkriptů**

Sekvenování DNA metodami NGS



Výsledky –omických studií vs. biologicky relevantní závěry

- Transkripční profilování identifikovalo víc než **9K odlišně regulovaných genů...**

Ddii, Arnaud et al., *bioRxiv* 10.1101/2023.07.26.550726

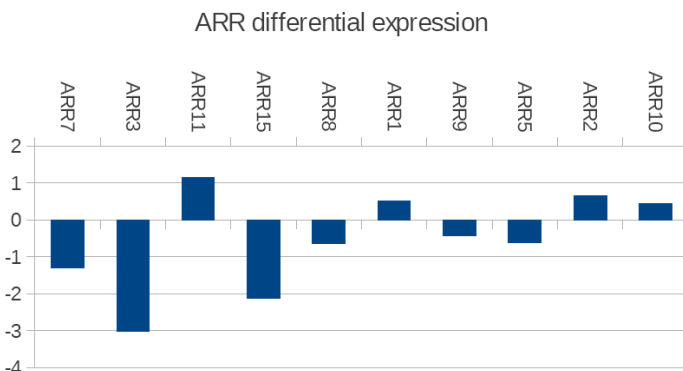
gene	locus	sample_1	sample_2	status	value_1	value_2	log2(fold_change)	test_stat	p_value	q_value	significant
AT1G07795	1:2414285-2414967	WT	MT	OK	0	1,1804	1.79769e+308	08	6.88885e-05	0,00039180	1 yes
HRS1	1:4556891-4558708	WT	MT	OK	0	0,696583	1.79769e+308	08	6.61994e-06	4.67708e-05	yes
ATMLO14	1:9227472-9232296	WT	MT	OK	0	0,514609	1.79769e+308	08	9.74219e-05	0,00053505	3.50131e-05 yes
NRT1.6	1:9400663-9403789	WT	MT	OK	0	0,877865	1.79769e+308	08	3.2692e-08	07	yes
AT1G27570	1:9575425-9582376	WT	MT	OK	0	2,0829	1.79769e+308	08	9.76039e-06	6.647e-05	yes
AT1G60095	1:22159735-22162419	WT	MT	OK	0	0,688588	1.79769e+308	08	9.95901e-08	07	yes
AT1G03020	1:698206-698515	WT	MT	OK	0	1,78859	1.79769e+308	08	0,00913915	0,0277958	yes
AT1G13609	1:4662720-4663471	WT	MT	OK	0	3,55814	1.79769e+308	08	0,00021683	0,00108079	yes
AT1G21550	1:7553100-7553876	WT	MT	OK	0	0,562868	1.79769e+308	08	0,00115582	0,00471497	yes
AT1G22120	1:7806308-7809632	WT	MT	OK	0	0,617354	1.79769e+308	08	2.48392e-06	1.91089e-05	yes
AT1G31370	1:11238297-11239363	WT	MT	OK	0	1,46254	1.79769e+308	08	4.83523e-05	0,00028514	3 yes
APUM10	1:13253397-13255570	WT	MT	OK	0	0,581031	1.79769e+308	08	7.87855e-06	5.46603e-05	yes
AT1G48700	1:18010728-18012871	WT	MT	OK	0	0,556525	1.79769e+308	08	6.53917e-05	0,00037473	6 yes
AT1G59077	1:21746209-21833195	WT	MT	OK	0	138,886	1.79769e+308	08	0,00122789	0,00496816	yes
AT1G60050	1:22121549-22123702	WT	MT	OK	0	0,370087	1.79769e+308	08	0,00117953	0,0048001	yes
AT4G15242	4:8705786-8706997	WT	MT	OK	0,00930712	17,9056	10,9098	-4,40523	1.05673e-05	7.13983e-05	yes
AT5G33251	5:12499071-12500433	WT	MT	OK	0,0498375	52,2837	10,0349	-9,8119	0	0	yes
AT4G12520	4:7421055-7421738	WT	MT	OK	0,0195111	15,8516	9,66612	-3,90043	9.60217e-05	0,000528904	yes
AT1G60020	1:22100651-22105276	WT	MT	OK	0,0118377	7,18823	9,24611	-7,503826	1.9504e-14	1.4988e-12	yes
AT5G15360	5:4987235-4989182	WT	MT	OK	0,0988273	56,4834	9,1587	-10,4392	0	0	yes

Osnova

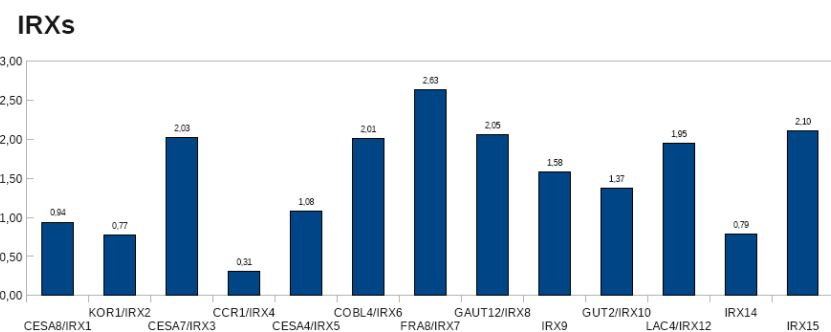
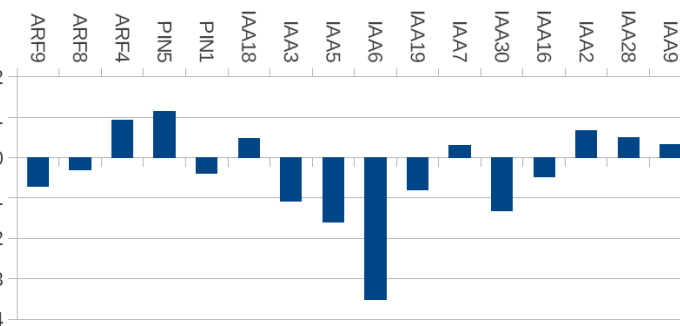
- Struktura genů
- Metody analýzy genové exprese
 - Kvalitativní analýza exprese genů
 - Příprava transkripční fúze promotoru analyzovaného genu s reporterovým genem (gen zpravodaj)
 - Příprava translační fúze kódující oblasti analyzovaného genu s reporterovým genem
 - Využití dostupných dat ve veřejných databázích
 - Tkáňově a buněčně specifická analýza genové exprese
 - Kvantitativní analýza exprese
 - DNA čipy
 - Next gen transkripční profilování
- Systémová biologie
 - Definice
 - Nástroje
 - Genová ontologie

Analýza genové ontologie

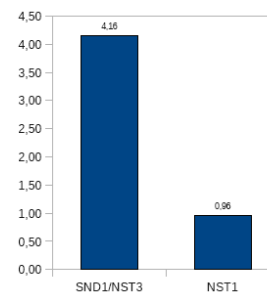
- Jedním z možných přístupů je studium **genové ontologie**, tj. dříve prokázané **spojitosti** mezi geny a **biologickými procesy**



Differentially expressed IAA-related genes



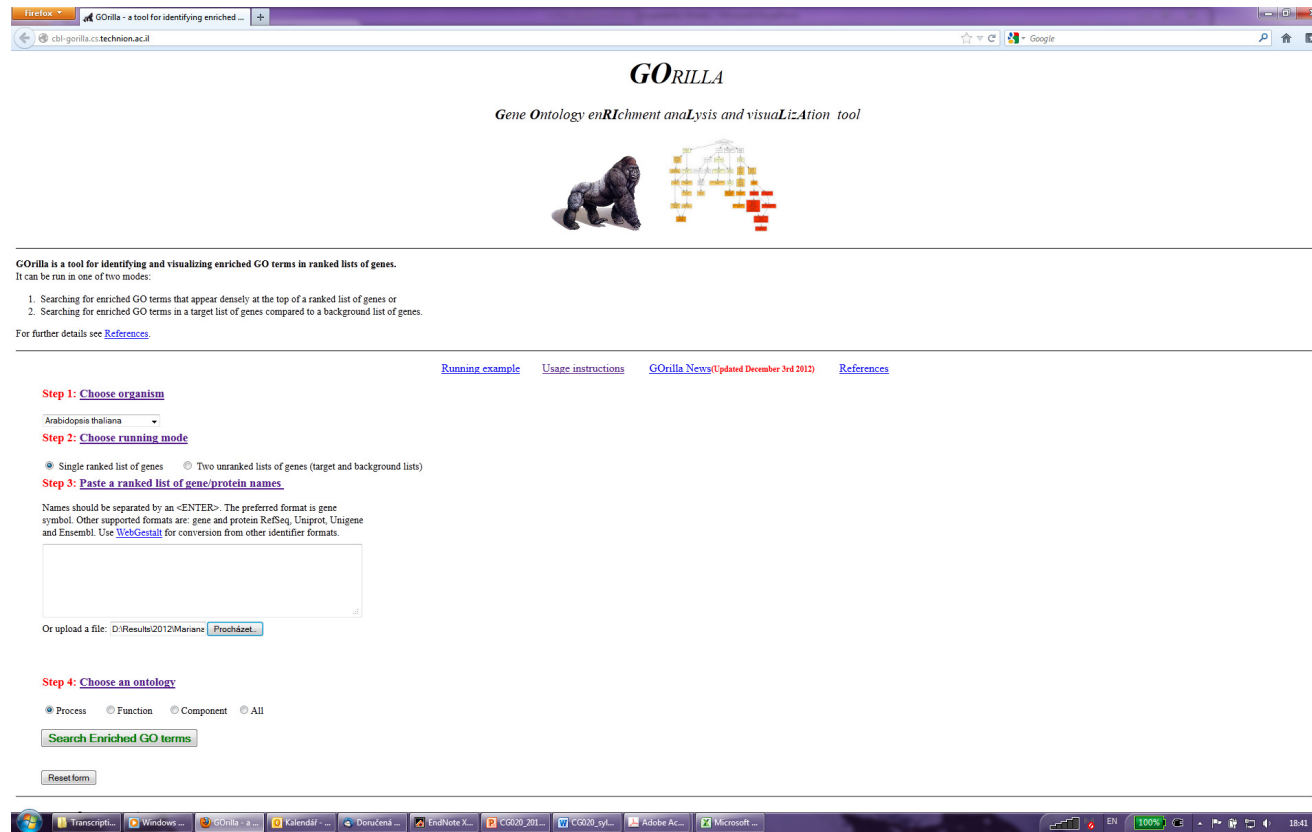
XYLEM MARKERS



Analýza genové ontologie

- Několik nástrojů umožňuje **statisticky vyhodnotit obohacení o geny spojené se specifickými procesy**

Eden et al., *BMC Bioinformatics* (2009)



The screenshot shows the GOrilla web application running in a Firefox browser. The title bar reads "Firefox - GOrilla - a tool for identifying enriched ...". The main content area features a large image of a gorilla and a hierarchical tree diagram of enriched GO terms. Below the title, it says "Gene Ontology enRICHment analYsis and visualLizAtion tool". A legend indicates that green nodes represent biological processes, yellow nodes represent cellular components, and red nodes represent molecular functions. The interface includes a sidebar with instructions and a main form for inputting gene lists and choosing an ontology.

GOrilla is a tool for identifying and visualizing enriched GO terms in ranked lists of genes.
It can be run in one of two modes:
1. Searching for enriched GO terms that appear densely at the top of a ranked list of genes or
2. Searching for enriched GO terms in a target list of genes compared to a background list of genes.
For further details see [References](#).

Running example Usage instructions GOrrilla News (Updated December 3rd 2012) References

Step 1: Choose organism
Arabidopsis thaliana

Step 2: Choose running mode
 Single ranked list of genes Two unranked lists of genes (target and background lists)

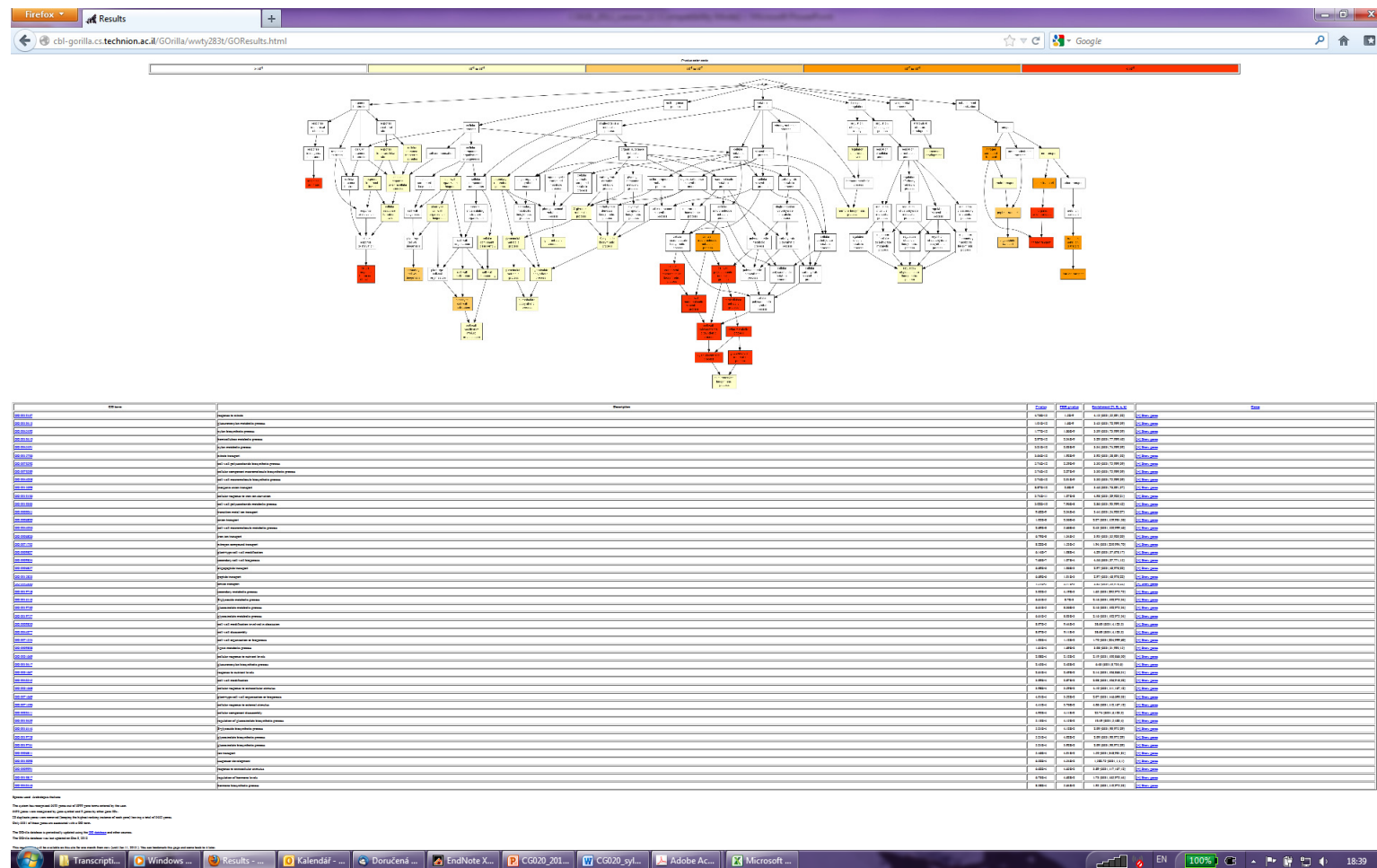
Step 3: Paste a ranked list of gene/protein names.
Names should be separated by an <ENTER>. The preferred format is gene symbol. Other supported formats are gene and protein RefSeq, Uniprot, UniGene and Ensembl. Use [WebGestalt](#) for conversion from other identifier formats.
Or upload a file: D:\Results\2012\Marians Procházel...

Step 4: Choose an ontology
 Process Function Component All

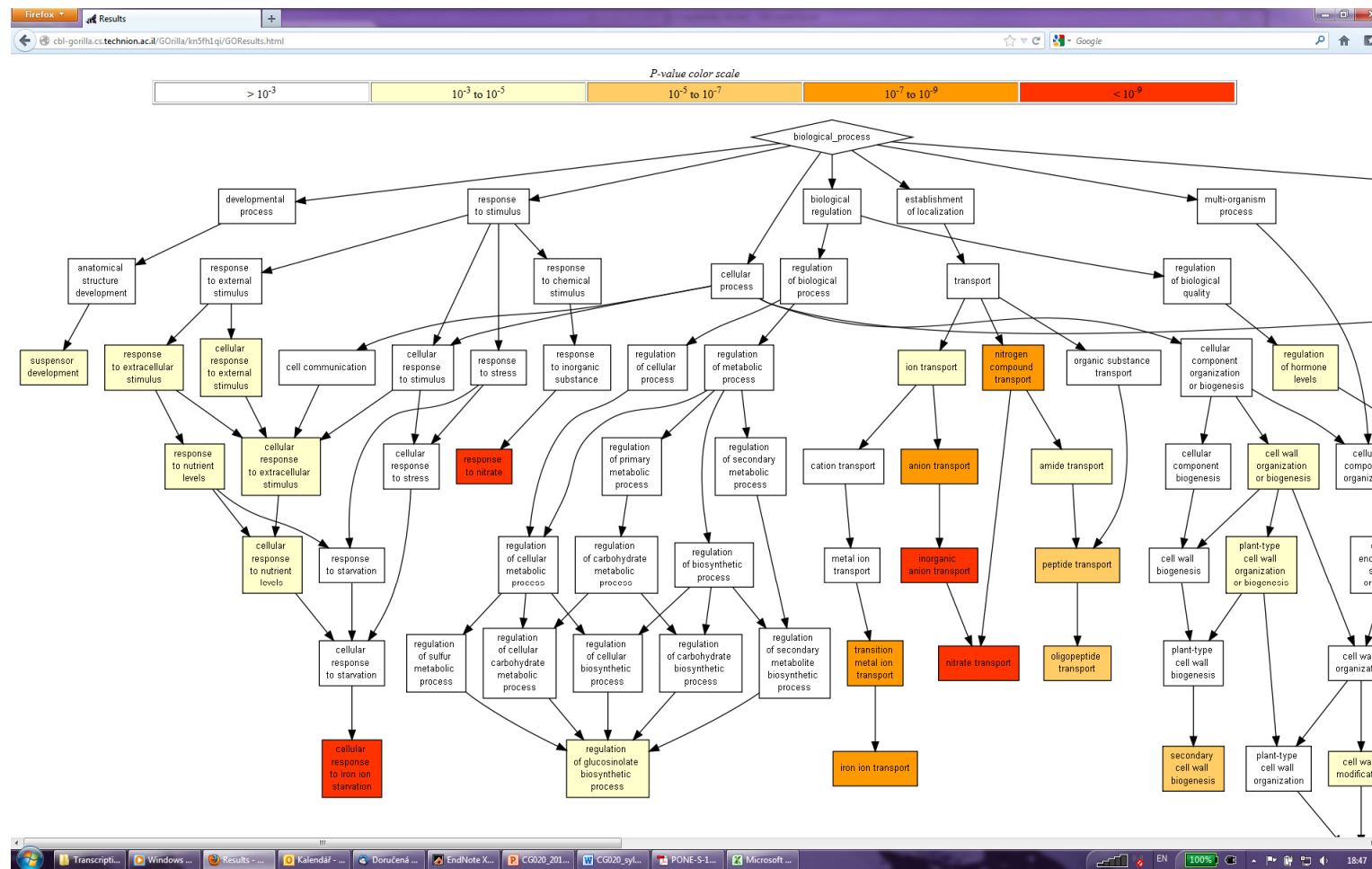
Search Enriched GO terms

Reset form

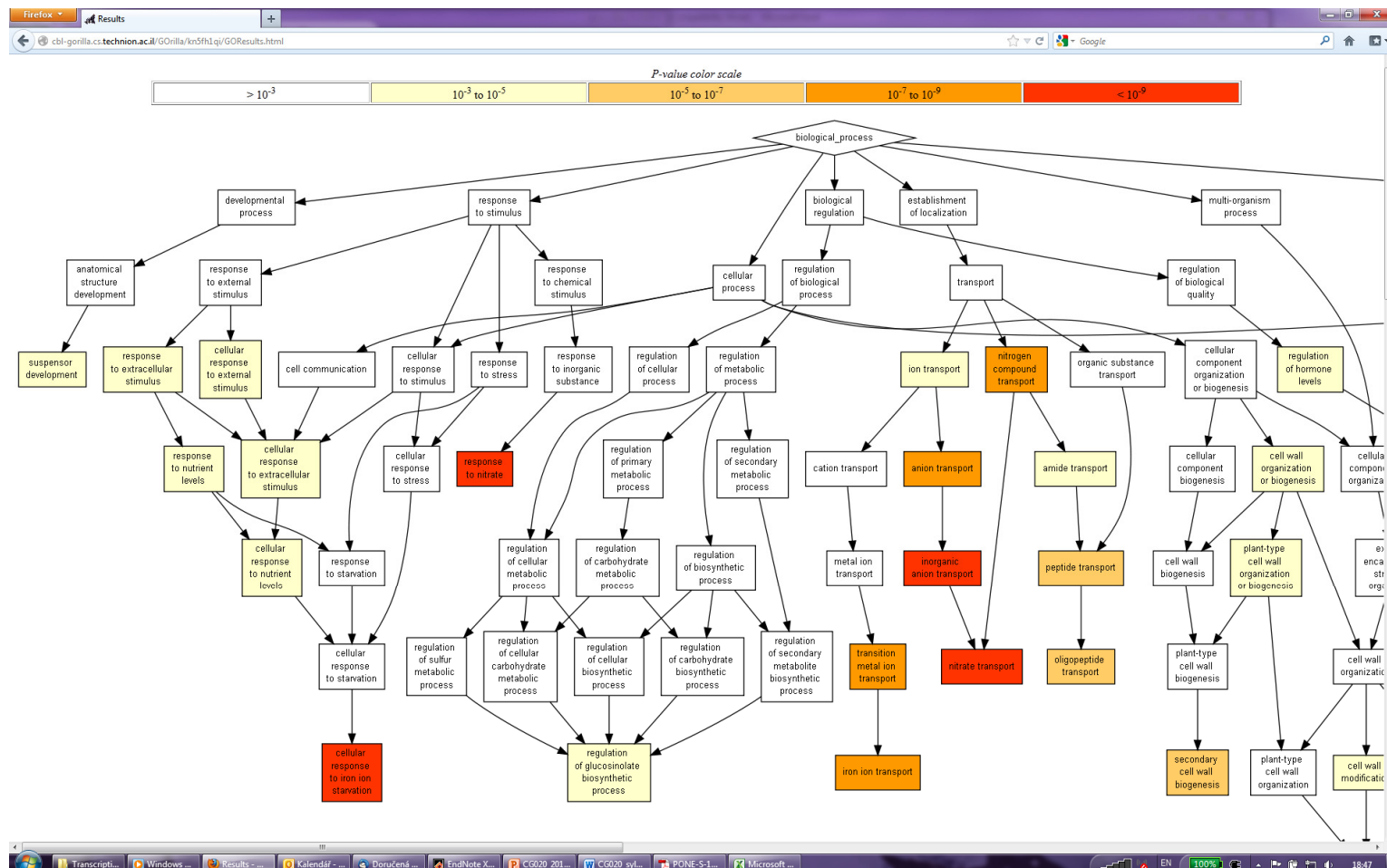
GORILLA



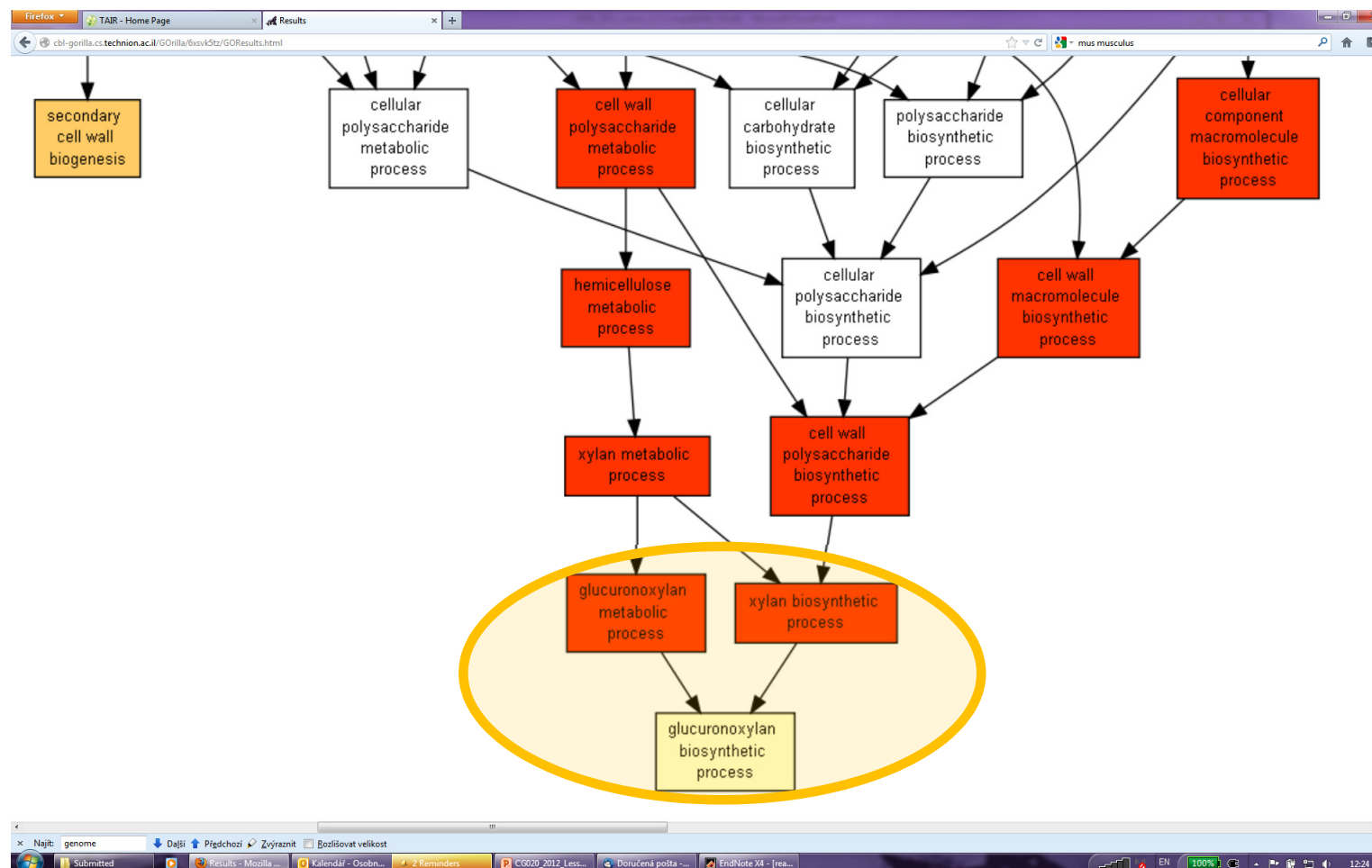
GORILLA



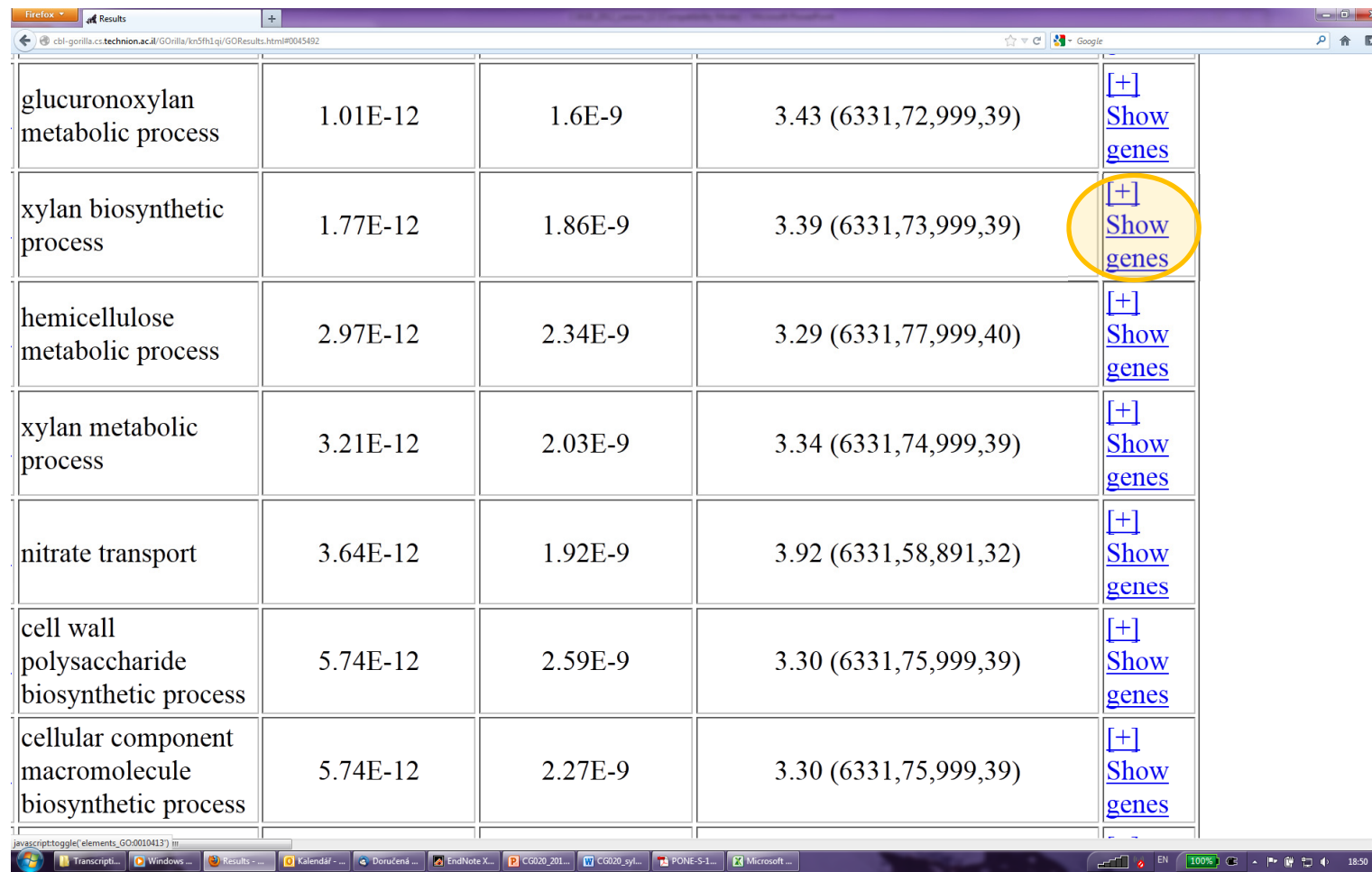
GORILLA



GORILLA



GORILLA



The screenshot shows a Firefox browser window displaying the GORILLA results page. The URL in the address bar is cbl-gorilla.cs.technion.ac.il/Gorilla/kn5fh1qi/GOResults.html#0045492. The page contains a table with the following data:

process	p-value	GO enrichment	count (genes)	link
glucuronoxylan metabolic process	1.01E-12	1.6E-9	3.43 (6331,72,999,39)	[+] Show genes
xylan biosynthetic process	1.77E-12	1.86E-9	3.39 (6331,73,999,39)	[+] Show genes
hemicellulose metabolic process	2.97E-12	2.34E-9	3.29 (6331,77,999,40)	[+] Show genes
xylan metabolic process	3.21E-12	2.03E-9	3.34 (6331,74,999,39)	[+] Show genes
nitrate transport	3.64E-12	1.92E-9	3.92 (6331,58,891,32)	[+] Show genes
cell wall polysaccharide biosynthetic process	5.74E-12	2.59E-9	3.30 (6331,75,999,39)	[+] Show genes
cellular component macromolecule biosynthetic process	5.74E-12	2.27E-9	3.30 (6331,75,999,39)	[+] Show genes

GORILLA

Firefox Results +

cbl-gorilla.cs.technion.ac.il/GOrilla/kn5fh1qj/GOResults.html#0045492

Description	P-value	FDR q-value	Enrichment (N, B, n, b)	Genes
response to nitrate	4.76E-13	1.5E-9	4.13 (6331,55,891,32)	[+] Show genes
glucuronoxylan metabolic process	1.01E-12	1.6E-9	3.43 (6331,72,999,39)	[+] Show genes
xylan biosynthetic process	1.77E-12	1.86E-9	3.39 (6331,73,999,39)	[-] Hide genes GUT2 - putative glycosyltransferase PGSIP3 - plant glycogenin-like starch initiation protein 3 FRA8 - exostosin-like protein GAUT12 - alpha-1,4-galacturonosyltransferase AT4G22460 - bifunctional inhibitor/lipid-transfer protein/seed storage 2s albumin-like protein AT5G42180 - peroxidase 64 AT3G10910 - ring-h2 finger protein atl72 LAC17 - laccase 17 KNAT7 - homeobox protein knotted-1-like 7 NAC012 - nac domain-containing protein 12 IRX9 - nucleotide-diphospho-sugar transferases-like protein AT1G70500 - pectin lyase-like protein CESA4 - cellulose synthase a catalytic subunit 4 [udp-forming] AT1G08340 - rho gtpase activating protein with pak-box/p21-rho-binding domain CTL2 - chitinase-like protein 2 IRX6 - cobra-like protein 4 MYB63 - myb domain protein 63 PGSIP1 - plant glycogenin-like starch initiation protein 1 AT5G46340 - putative o-acetyltransferase AT3G21710 - hypothetical protein AT2G03200 - aspartyl protease-like protein AT1G09440 - protein kinase family protein AT5G40020 - pathogenesis-related thiamatin-like protein AT3G23090 - targeting protein for xklp2-like protein AT5G67210 - hypothetical protein AT3G56230 - btb/poz domain-containing protein AT2G31930 - hypothetical protein JP630 - putative polygalacturonase non-catalytic subunit jp630 MAP70-5 - microtubule-associated proteins 70-5 AT3G50220 - hypothetical protein AGL44 - protein agamous-like 44 IRX12 - laccase-4 NAC073 - nac domain containing protein 73 IRX3 - cellulose synthase a catalytic subunit 7 [udp-forming] AT4G27435 - hypothetical protein MYB46 - transcription factor myb46 AT1G72220 - ring-h2 finger protein atl54 FRD3 - mate efflux family protein AT1G33800 - hypothetical protein
hemicellulose metabolic process	2.07E-12	2.34E-8	2.20 (6331,77,999,40)	[+] Show genes

Transcript... Windows... Results... Kalendář... Doručení... EndNote X... CG020_201... CG020_syl... PONE-5-1... Microsoft... EN 100% 18:53

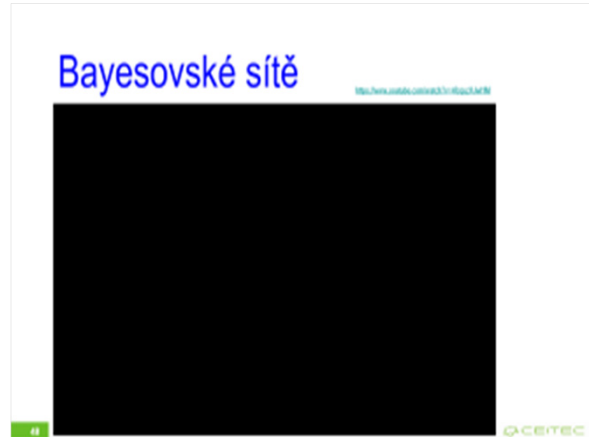
Osnova

- Struktura genů
- Metody analýzy genové exprese
 - Kvalitativní analýza exprese genů
 - Příprava transkripční fúze promotoru analyzovaného genu s reporterovým genem (gen zpravodaj)
 - Příprava translační fúze kódující oblasti analyzovaného genu s reporterovým genem
 - Využití dostupných dat ve veřejných databázích
 - Tkáňově a buněčně specifická analýza genové exprese
 - Kvantitativní analýza exprese
 - DNA čipy
 - Next gen transkripční profilování
- Systémová biologie
 - Definice
 - Nástroje
 - Genová ontologie
 - Bayesovské sítě

Bayesovské sítě

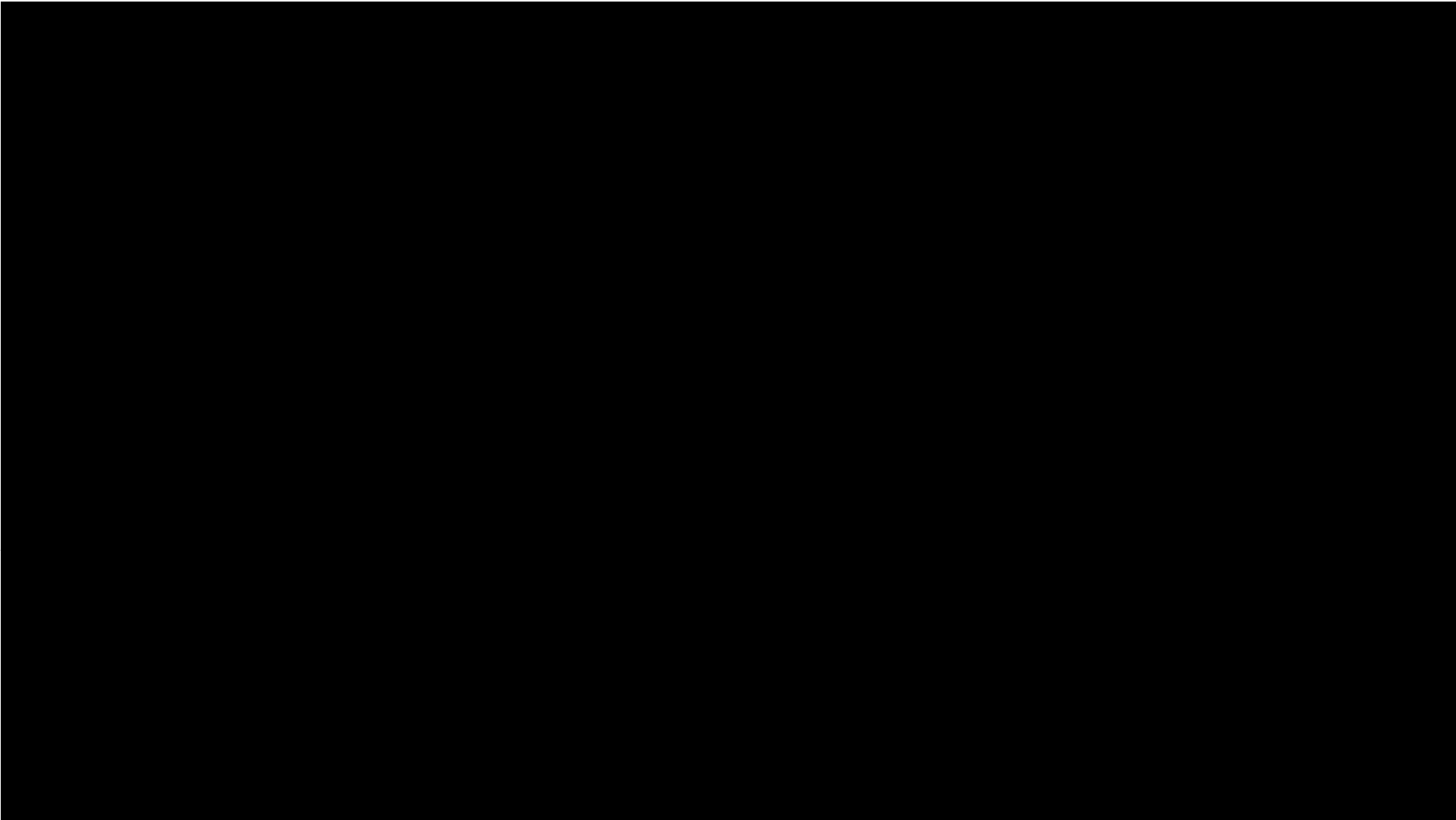
Co je Bayesovská síť?

- **Pravděpodobný grafický model**, který se používá k **vytváření modelů z dat a/nebo názoru odborníka**



Bayesovské sítě

<https://www.youtube.com/watch?v=4fcqyzVJwHM>



Bayesovské sítě

Co je Bayesovská síť?

- **Pravděpodobný grafický model**, který se používá k vytváření modelů z dat a/nebo **názoru odborníka**
- může být využit v široké škále úkolů včetně **predikce, detekce anomálie, diagnostiky, automatického pohledu na věc, uvažování, predikce časové řady** a **rozhodování za nejistoty**

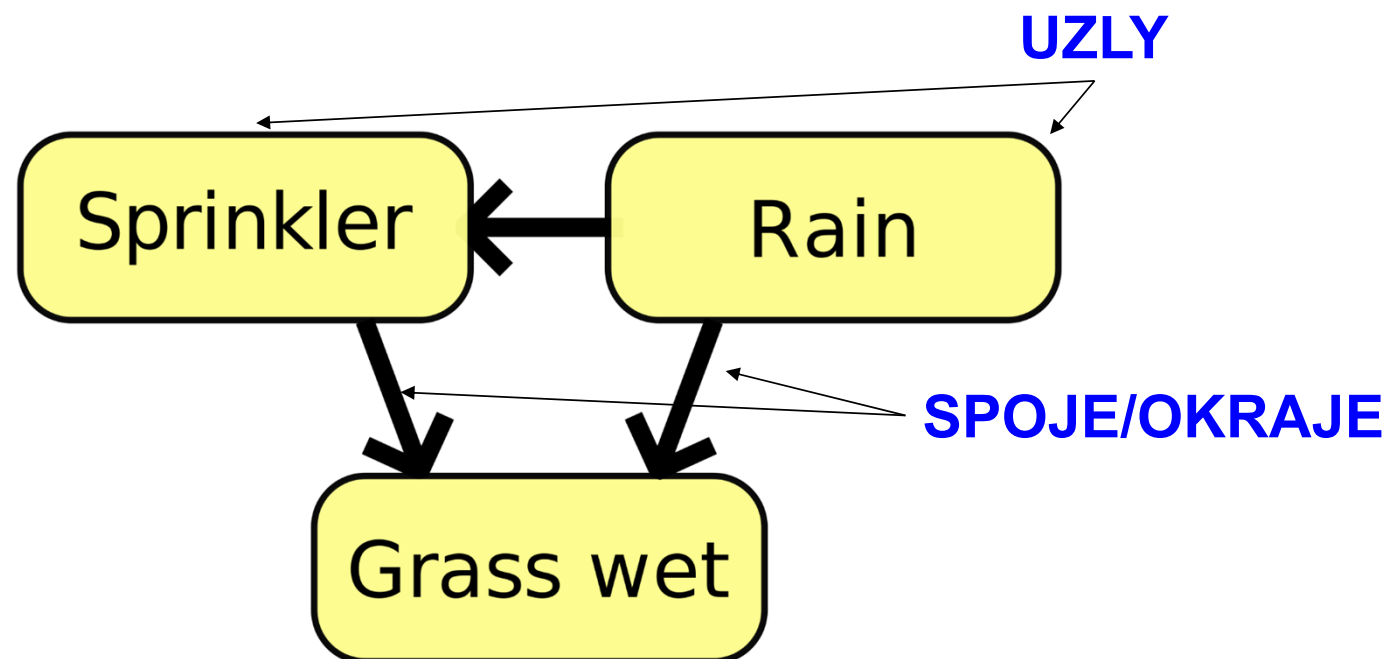
▪ UZLY

- každý uzel představuje **proměnnou**, jako je výška, věk nebo pohlaví. Proměnná může být *diskrétní*, jako například pohlaví = {samičí, samčí}, nebo **spojitá**, jako např. věk

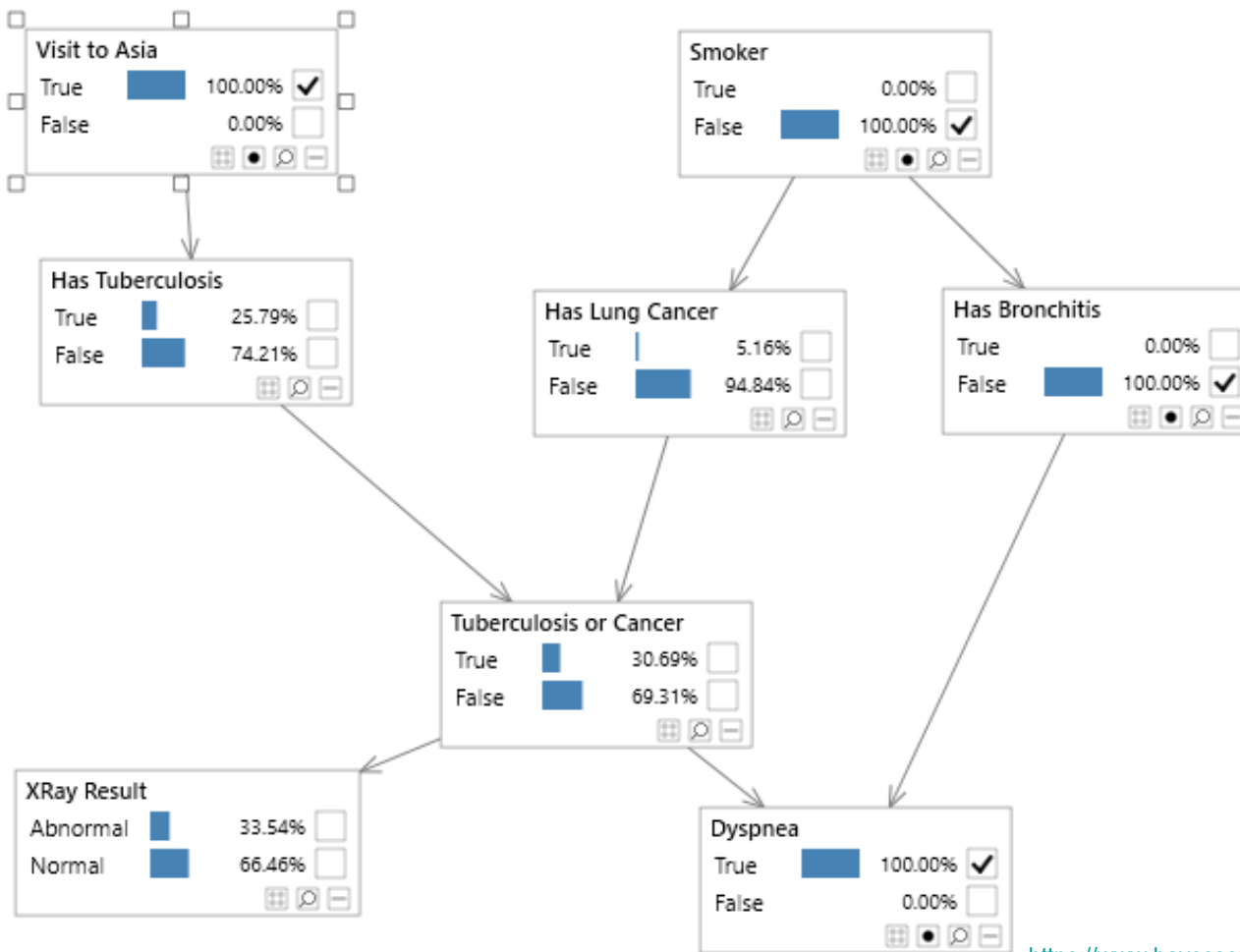
▪ SPOJE

- přidány **mezi uzly**, aby ukazovaly, že **jeden uzel má** přímý **vliv** na **druhý**

Bayesovské sítě



Asijská Bayesovská síť



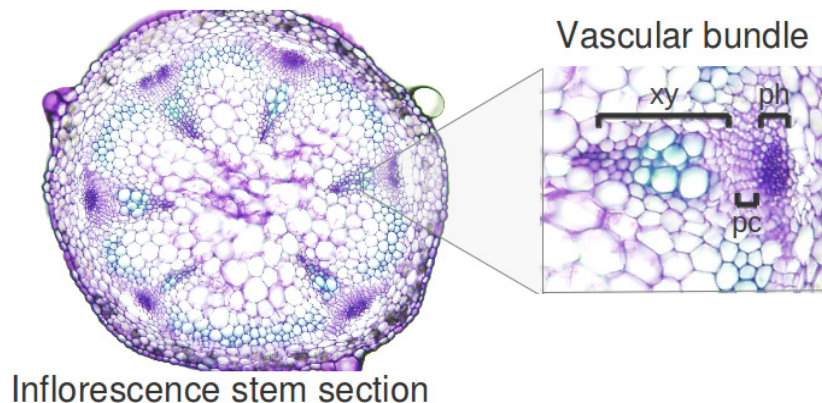
<https://www.bayesserver.com/>

Osnova

- Struktura genů
- Metody analýzy genové exprese
 - Kvalitativní analýza exprese genů
 - Příprava transkripční fúze promotoru analyzovaného genu s reporterovým genem (gen zpravodaj)
 - Příprava translační fúze kódující oblasti analyzovaného genu s reporterovým genem
 - Využití dostupných dat ve veřejných databázích
 - Tkáňově a buněčně specifická analýza genové exprese
 - Kvantitativní analýza exprese
 - DNA čipy
 - Next gen transkripční profilování
- Systémová biologie
 - Definice
 - Nástroje
 - Genová ontologie
 - Bayesovské sítě
 - Modelování molekulárních/genových regulačních sítí

Modelování molekulárních regulačních sítí

- **Vodivé pletivo** jako vývojový model pro **MRN modelování**



Benitez and Hejatko, PLoS One, 2013

Modelování molekulárních regulačních sítí

- **Vyhledávání** publikovaných dat a **vytvoření malé databáze**

Interaction	Evidence	References
A-ARRs → CK signaling	Double and higher order type-A ARR mutants show increased sensitivity to CK. Spatial patterns of A-type ARR gene expression and CK response are consistent with partially redundant function of these genes in CK signaling. A-type ARRs decreases B-type ARR6-LUC. Note: In certain contexts, however, some A-ARRs appear to have effects antagonistic to other A-ARRs.	[27] [27] [13] [27]
AHP6 → AHP	ahp6 partially recovers the mutant phenotype of the CK receptor WOL. Using an in vitro phosphotransfer system, it was shown that, unlike the AHPs, native AHP6 was unable to accept a phosphoryl group. Nevertheless, AHP6 is able to inhibit phosphotransfer from other AHPs to ARRs.	[9] [9]

Benitez and Hejatko, *PLoS One*, 2013

Modelování molekulárních regulačních sítí

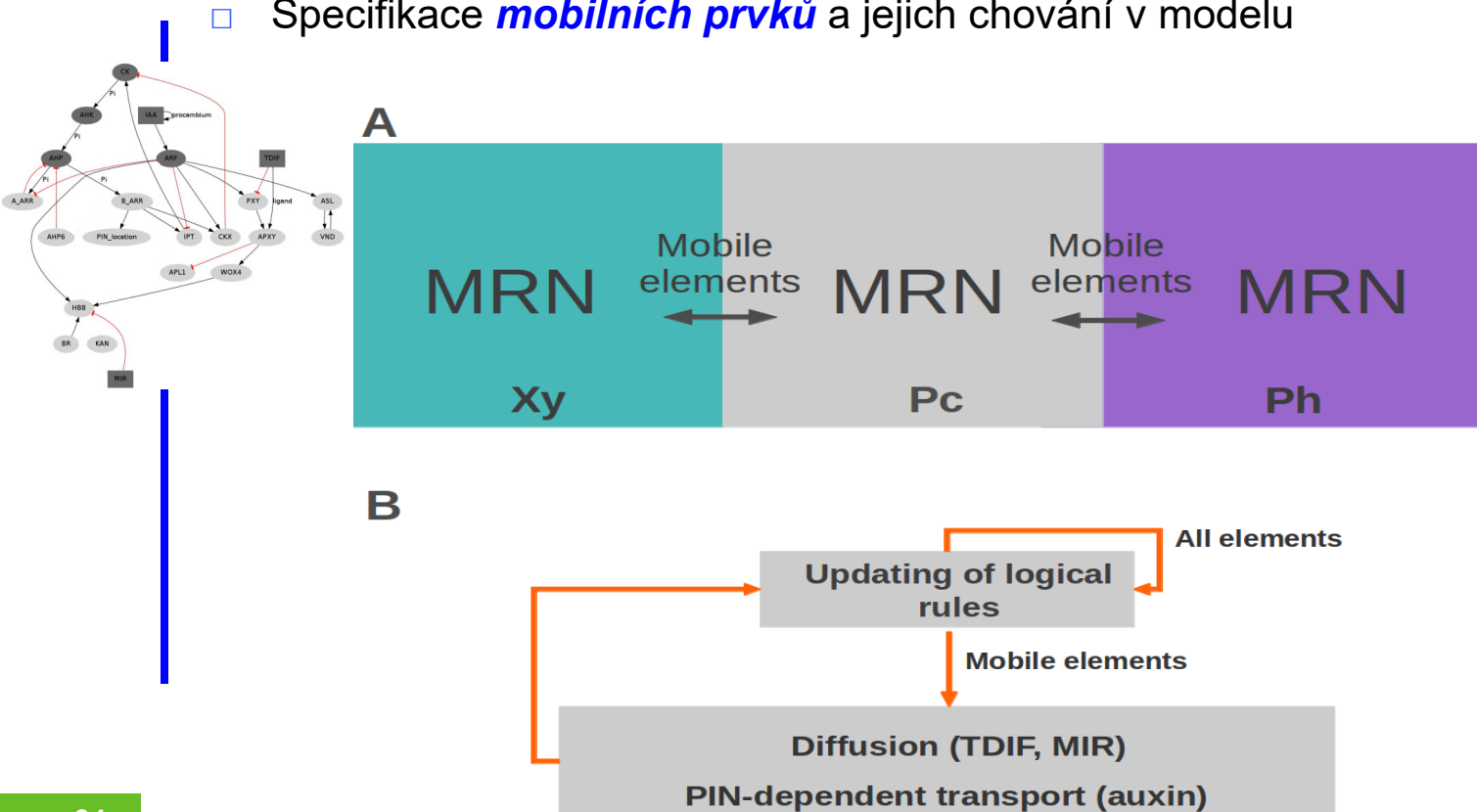
- Formulace *logických pravidel* definujících *dynamiku modelu*

Network node	Dynamical rule
CK	2 If ipt=1 and ckx=0 1 If ipt=1 and ckx=1 0 else
CKX	1 If barr>0 or arf=2 0 else
AHKs	ahk=ck
AHPs	2 If ahk=2 and ahp6=0 and aarr=0 1 If ahk=2 and (ahp6+aarr<2) 1 If ahk=1 and ahp6<1 0 else
B-Type ARRs	1 If ahp>0 0 else
A-Type ARRs	1 If arf<2 and ahp>0 0 else

Benitez and Hejatko, PLoS One, 2013

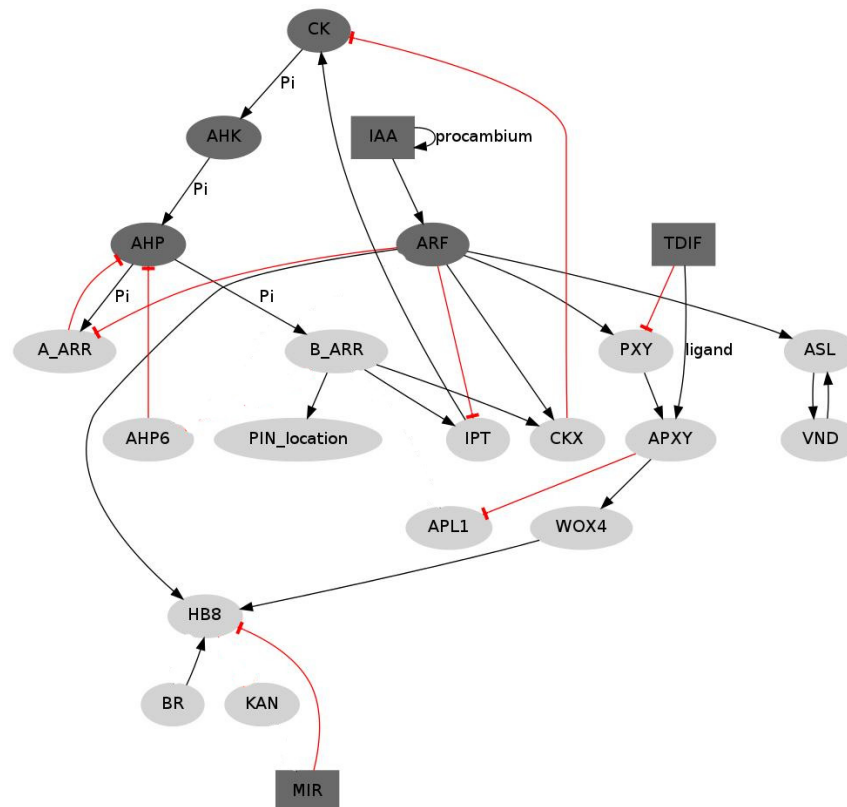
Modelování molekulárních regulačních sítí

- Specifikace *mobilních prvků* a jejich chování v modelu



Modelování molekulárních regulačních sítí

- Příprava *první verze* modelu a její *testování*



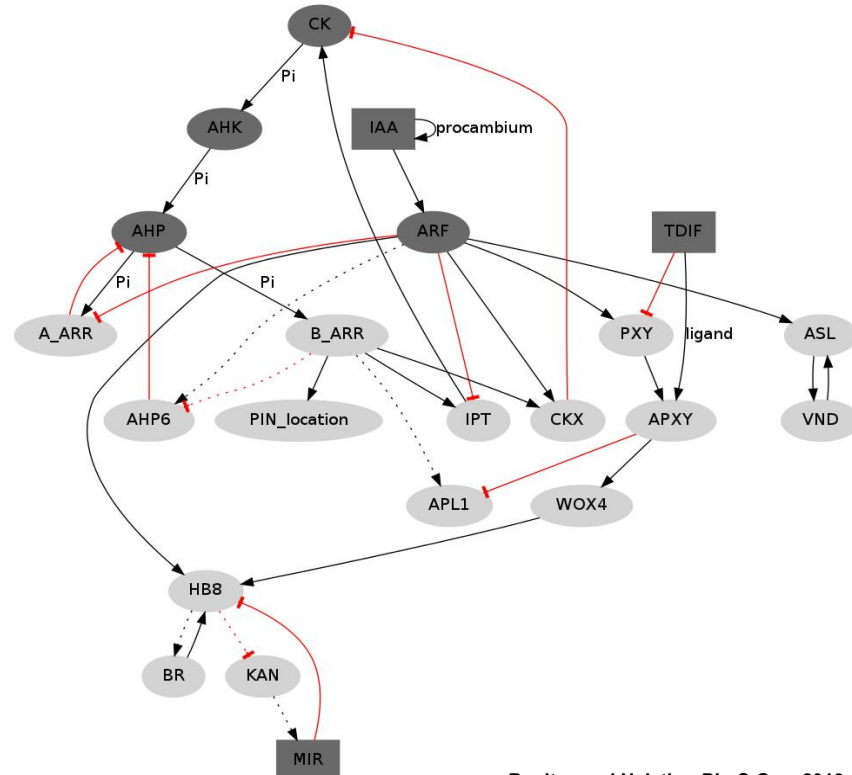
Modelování molekulárních regulačních sítí

□ Specifikace chybějících interakcí ze *známých predikcí*

Interaction	Evidence	References
CK → PIN7 radial localization	<p>Predicted interaction (could be direct or indirect)</p> <p>Informed by the following data:</p> <p>During the specification of root vascular cells in <i>Arabidopsis thaliana</i>, CK regulates the radial localization of PIN7.</p> <p>Expression of PIN7:GFP and PIN7::GUS is upregulated by CK with no significant influence of ethylene.</p> <p>In the root, CK signaling is required for the CK regulation of PIN1, PIN3, and PIN7. Their expression is altered in <i>wol</i>, <i>cre1</i>, <i>ahk3</i> and <i>ahp6</i> mutants.</p>	[18]
CK→APL	<p>Predicted interaction (could be direct or indirect)</p> <p>Consistent with the fact that APL overexpression prevents or delays xylem cell differentiation, as does CKs.</p> <p>Partially supported by microarray data and phloem-specific expression patterns of CK response factors.</p>	[21] (TAIR, ExpressionSet:10 05823559, [22])

Modelování molekulárních regulačních sítí

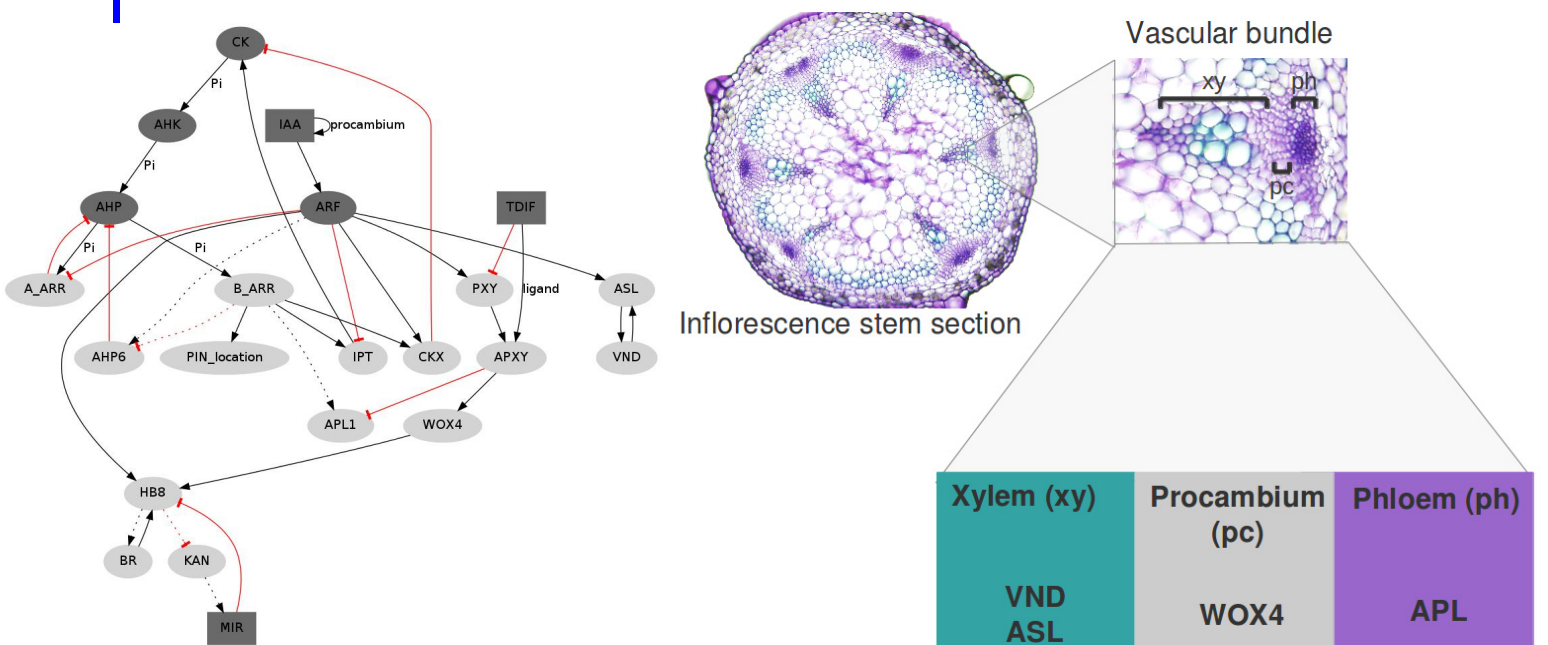
- Příprava **další verze** modelu a její **testování**



Benitez and Hejatko, *PLoS One*, 2013

Modelování molekulárních regulačních sítí

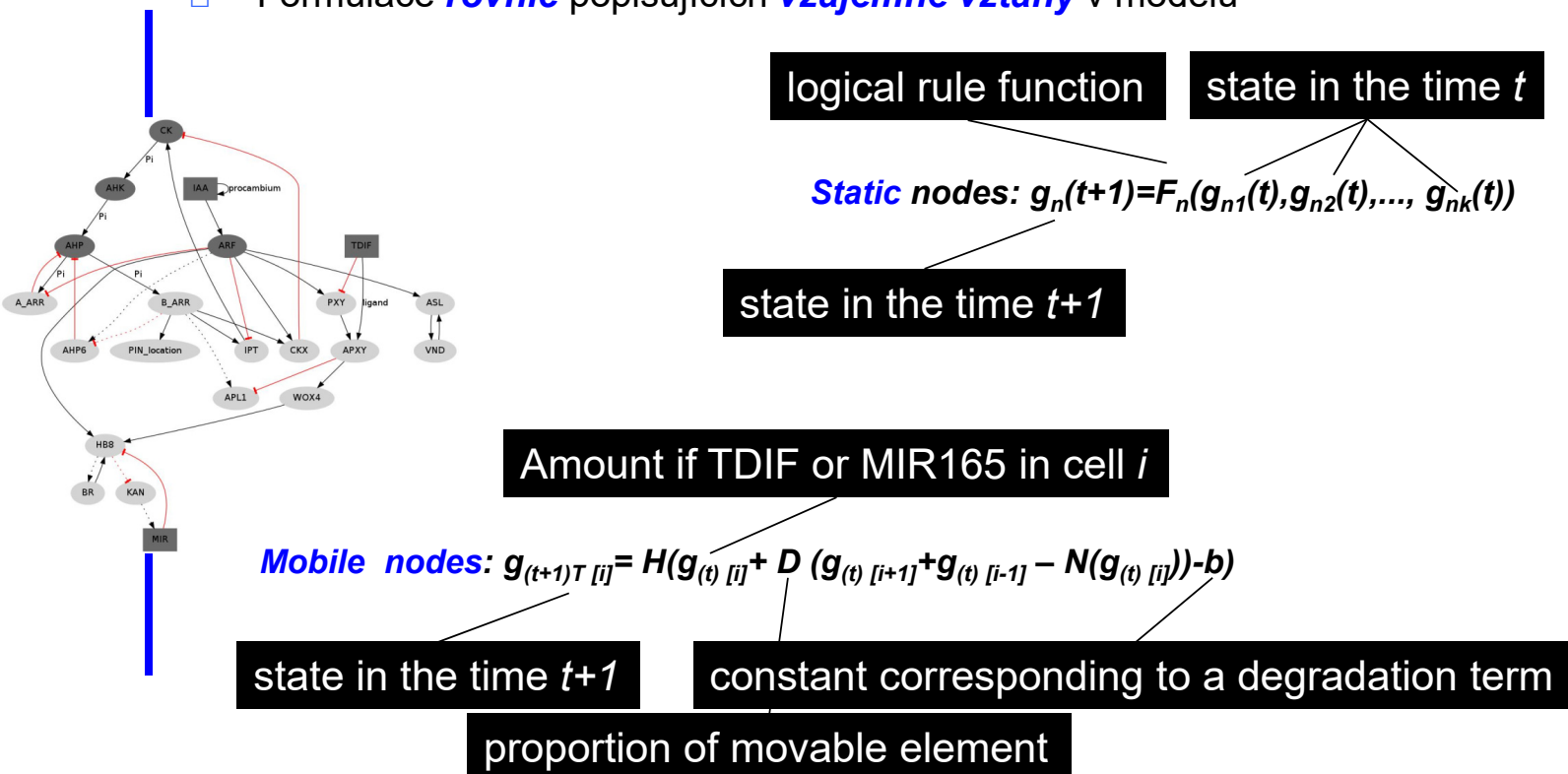
- Dobrý model by měl být schopen *simulovat realitu*



Benitez and Hejatko, *PLoS One*, 2013

Modelování molekulárních regulačních sítí

- Formulace *rovníc* popisujících *vzájemné vztahy* v modelu

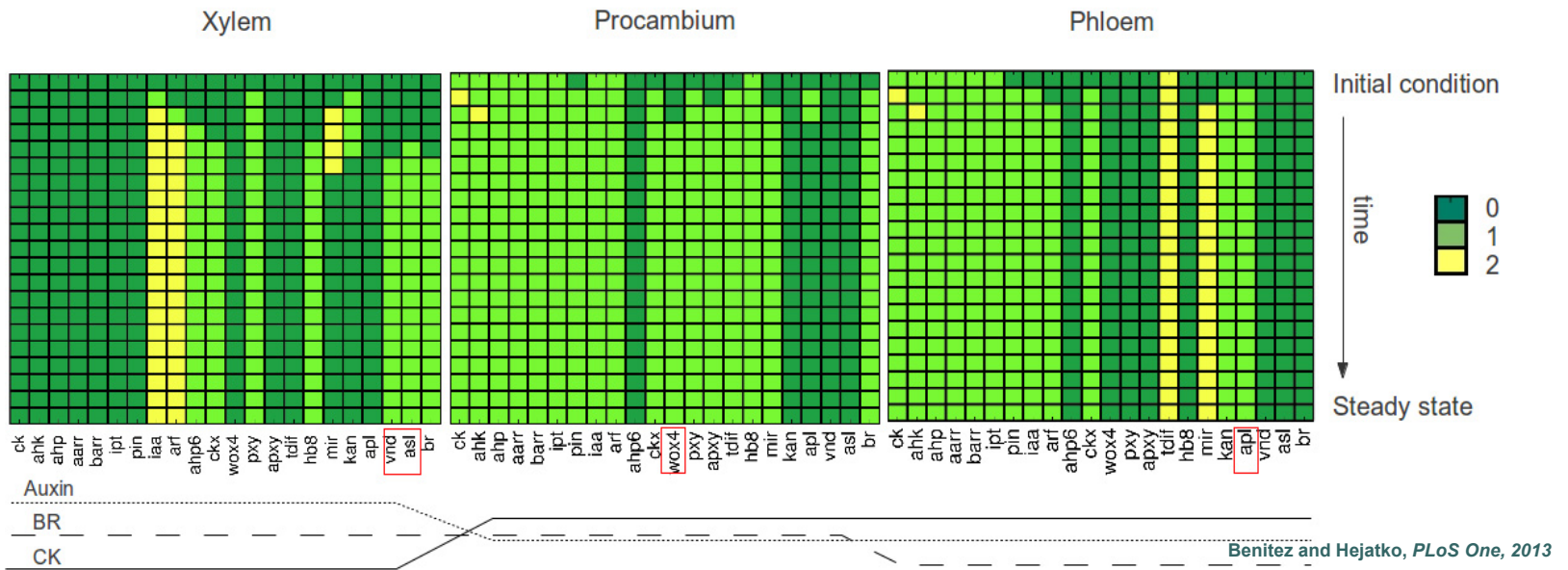


Modelování molekulárních regulačních sítí

- **Dobrý model** by měl být schopen **simulovat realitu**

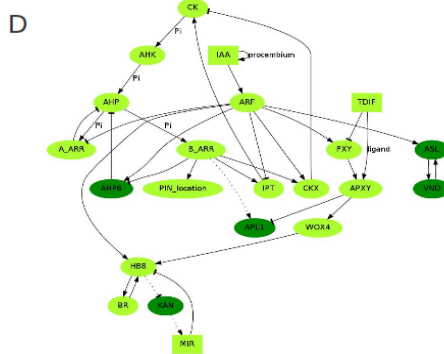
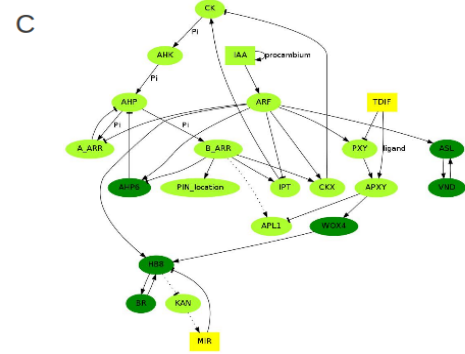
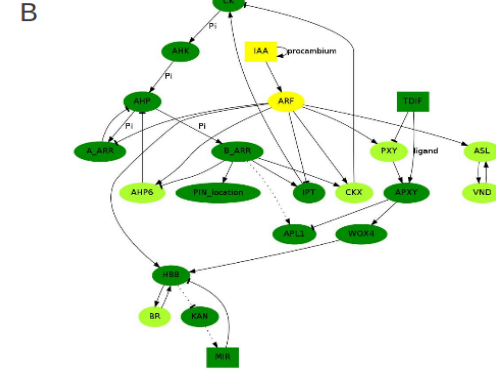
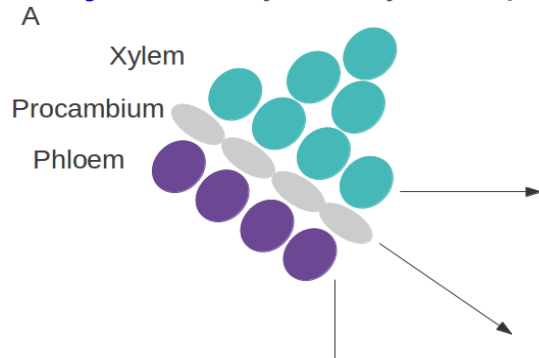
Static nodes: $g_n(t+1) = F_n(g_{n1}(t), g_{n2}(t), \dots, g_{nk}(t))$

Mobile nodes: $g_{(t+1)T[ij]} = H(g_{(t)[ij]} + D(g_{(t)[i+1]} + g_{(t)[i-1]} - N(g_{(t)[ij]})) - b)$



Modelování molekulárních regulačních sítí

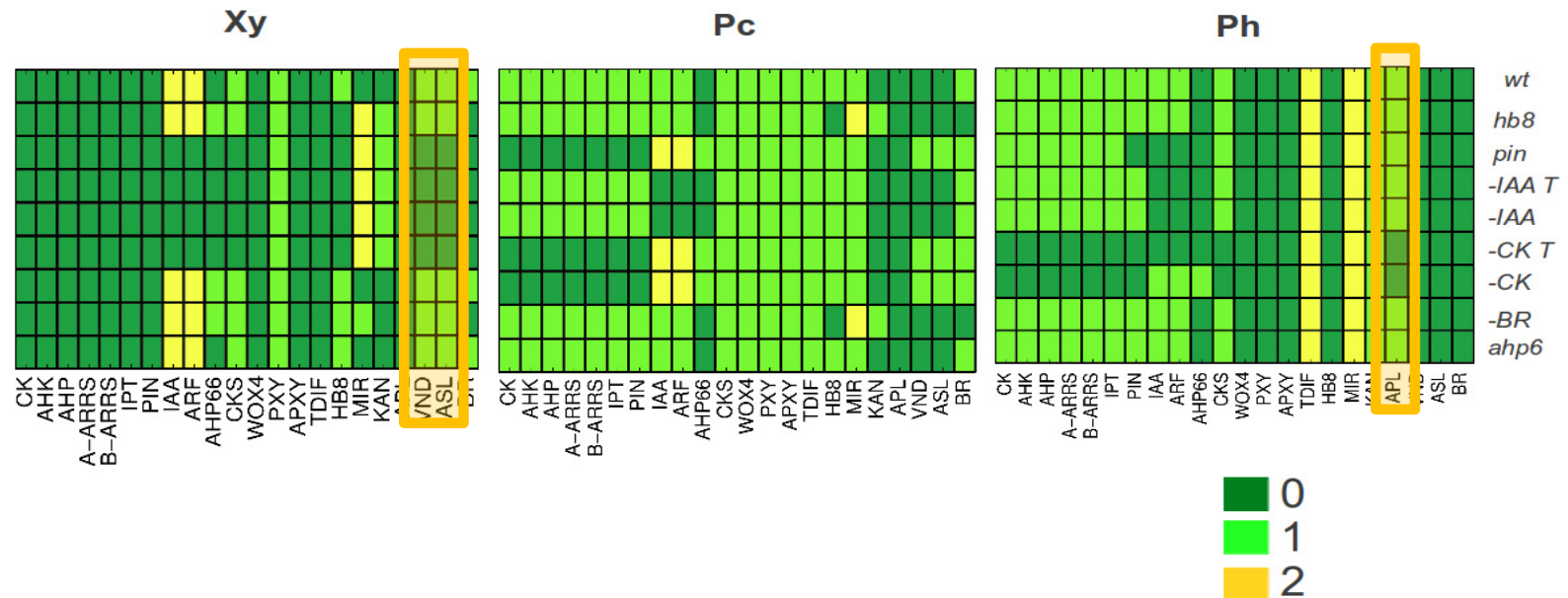
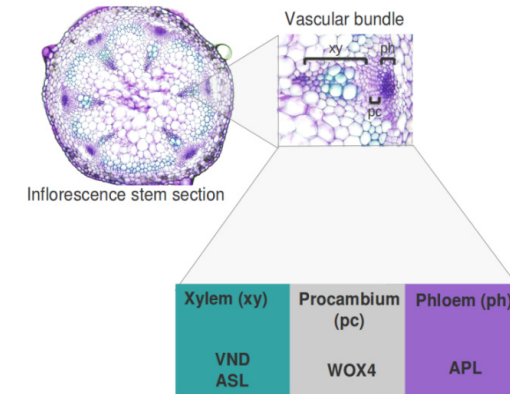
- Dobrý model by měl být schopen **simulovat realitu**



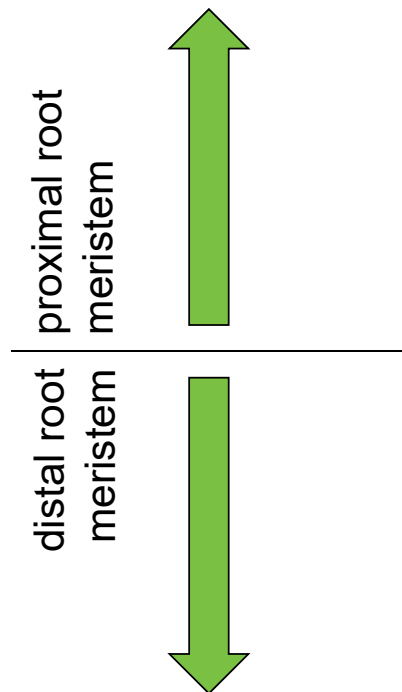
Benitez and Hejatko, submitted

Modelování molekulárních regulačních sítí

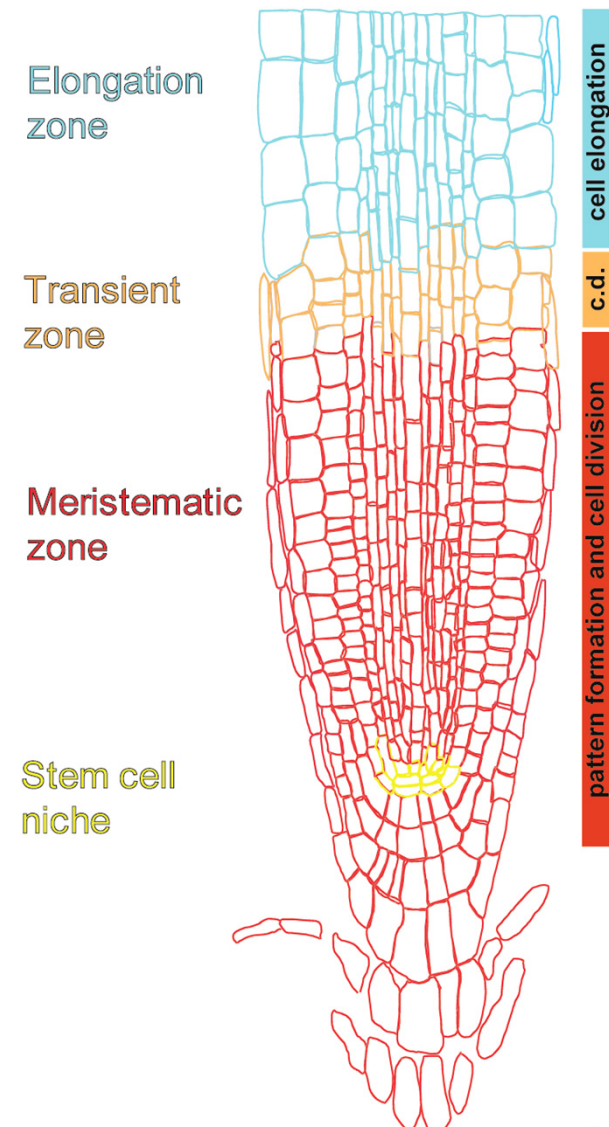
- Simulace *mutantů*



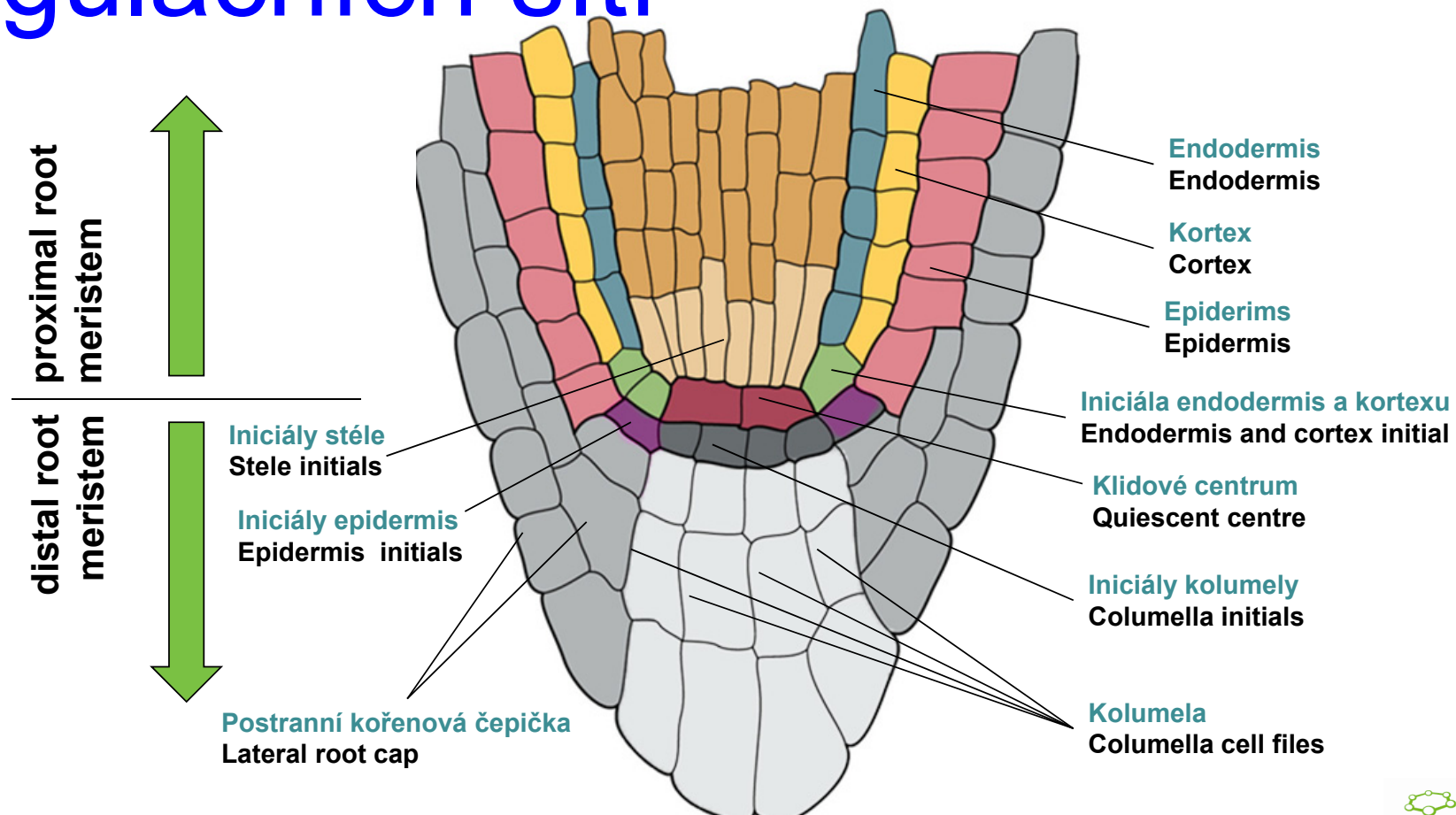
Odvození genových regulačních sítí



Benkova and Hejatko, *Plant Mol Biol* (2008)

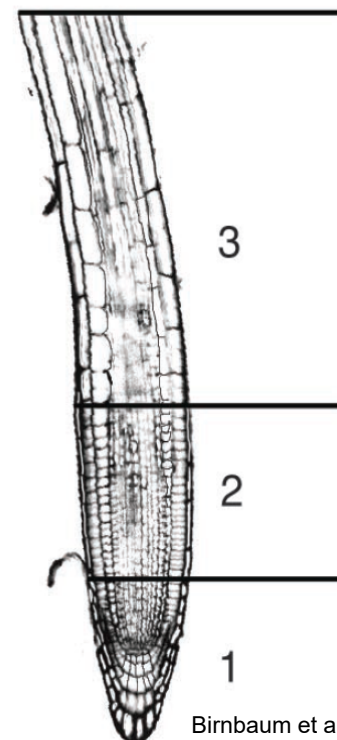


Odvození genových regulačních sítí

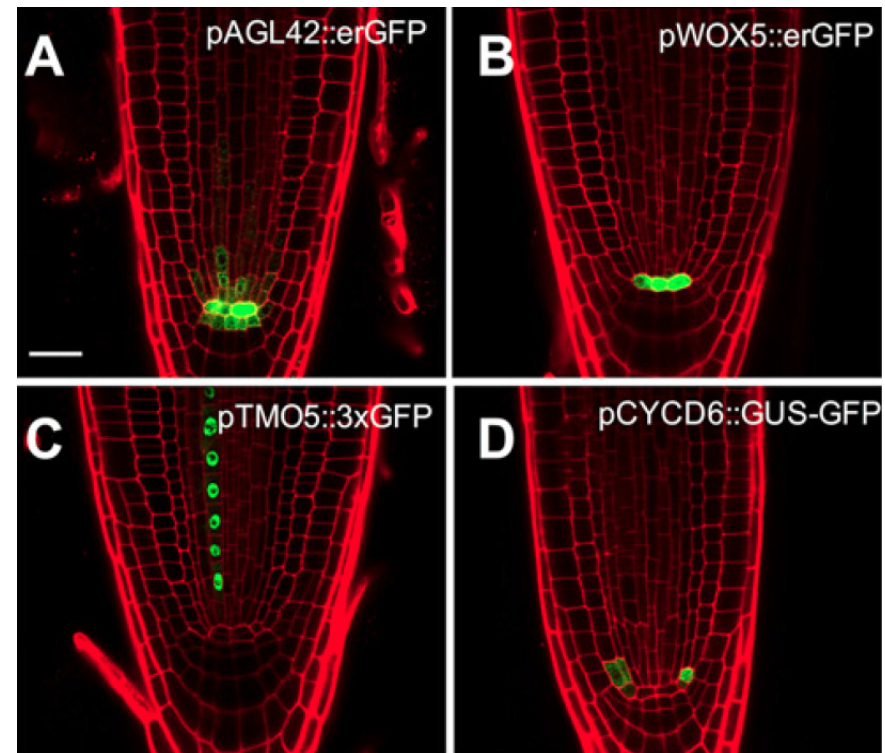


Genové regulační sítě - GENIST

- Odvození GR sítí přes **GENIST**
 - **G**Ene regulatory Network Inference from SpatioTemporal data algorithm
 - Kombinace prostorových- a časově- specifických profilů exprese genů

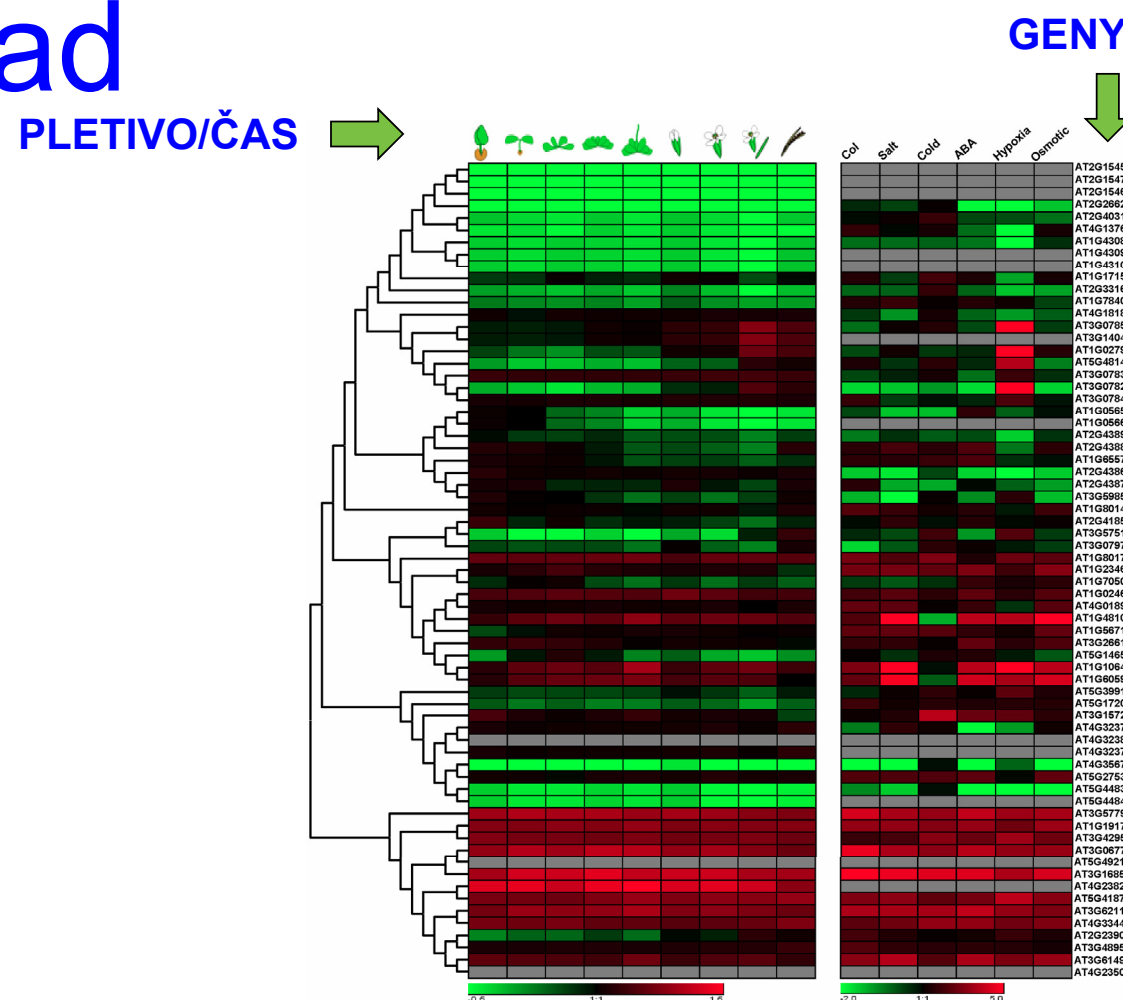


Birnbaum et al., *Science*, 2003



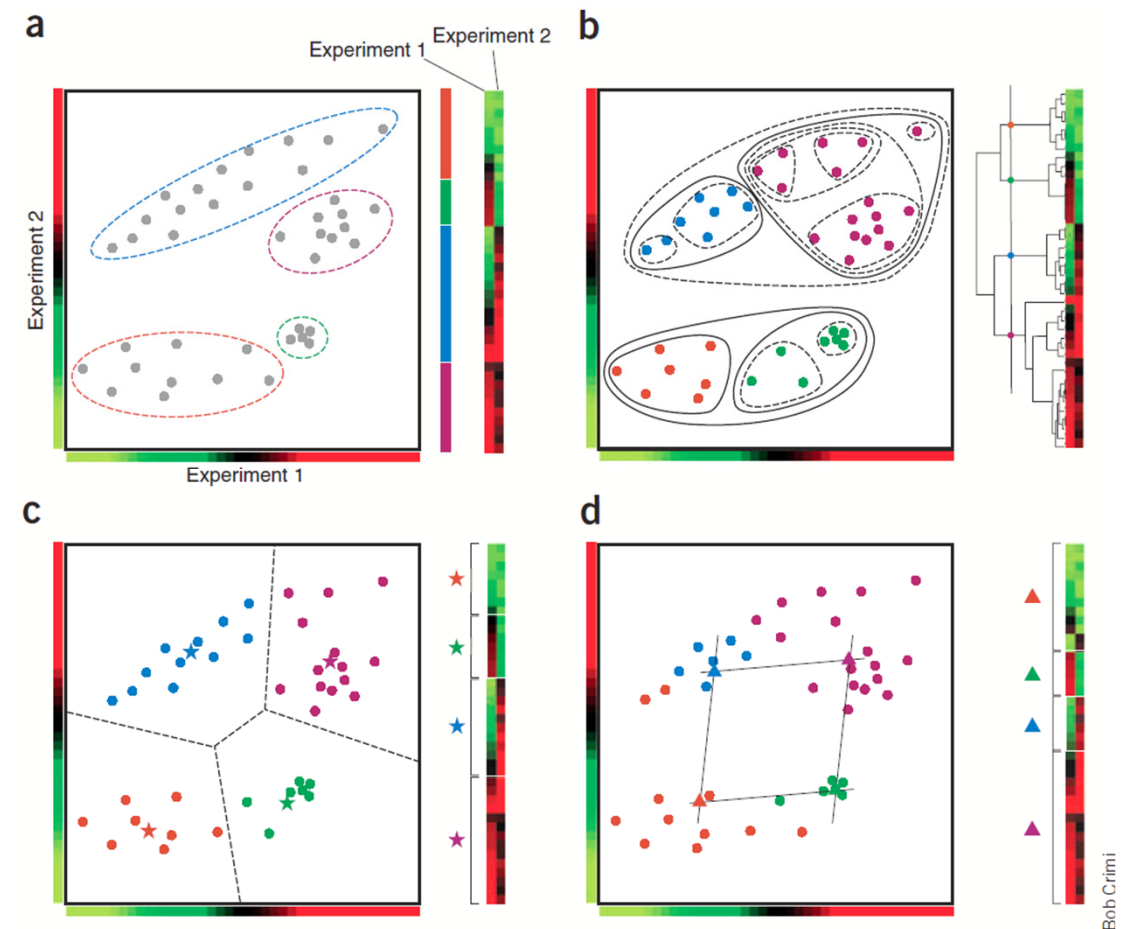
de Luis Balaguer et al., *PNAS*, 2017

Kombinace velkých omických datových sad



Genové regulační sítě - GENIST

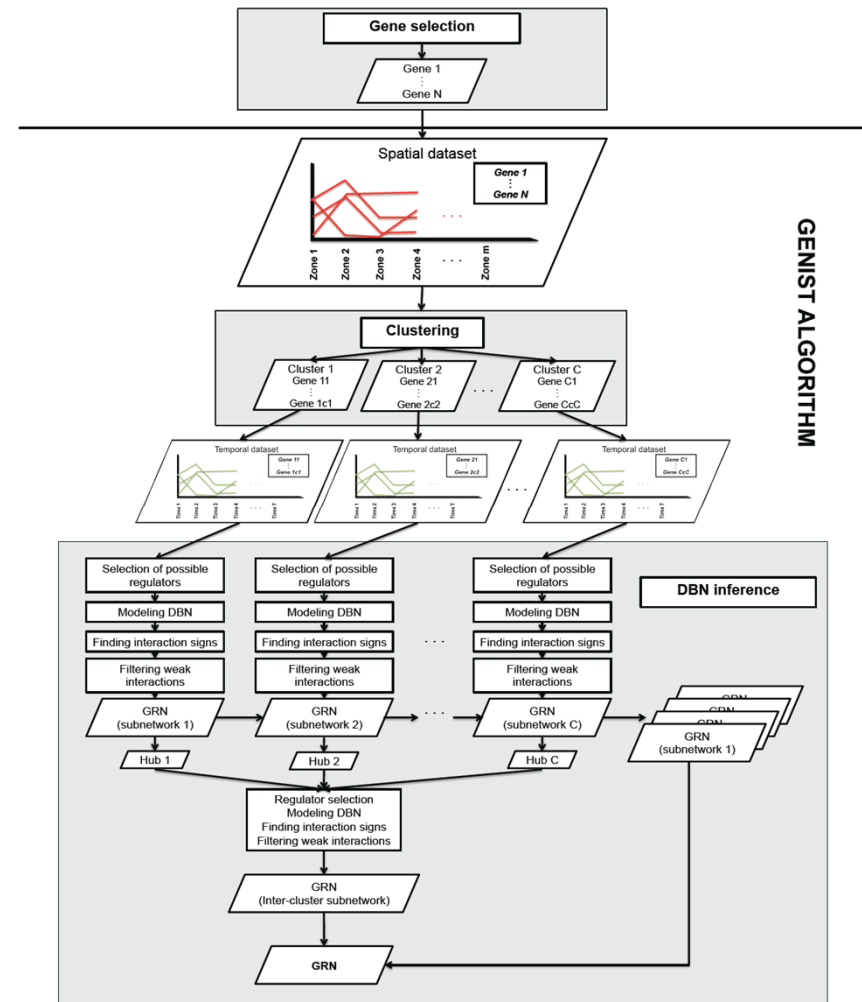
- Odvození GR sítí přes **GENIST**
 - **shlukování (klastrování) genů**
 - Expresní podobnost za různých podmínek/genetické pozadí, časové body, ...
 - **Odvození spojení uvnitř klastru**
 - **Selekce** potenciálních **regulátorů a ko-regulátorů**
 - Na základě časové **korelace** ve změně **exprese** a/nebo **specifikace uživatele**
 - **Modelování dynamické Bayesovské sítě**



Haeselein, Computational Biology, 2005

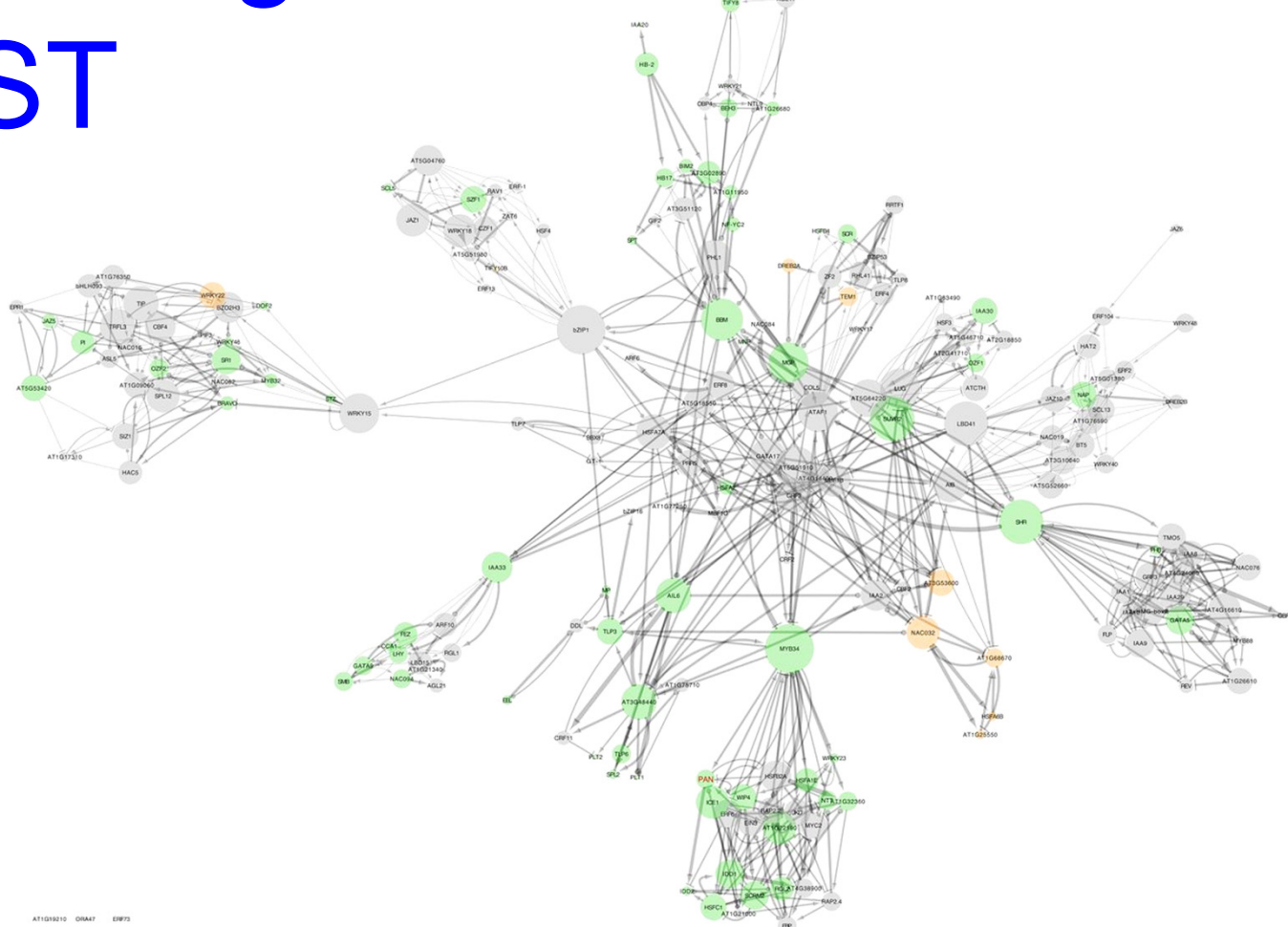
Genové regulační sítě - GENIST

- Odvození GR sítí přes **GENIST**
 - **shlukování (klastrování) genů**
 - Expresní podobnost za různých podmínek/genetické pozadí, časové body, ...
 - **Odvození spojení uvnitř klastru**
 - **Selekce** potenciálních **regulátorů a ko-regulátorů**
 - Na základě časové **korelace** ve změně **exprese** a/nebo **specifikace uživatele**
 - **Modelování dynamické Bayesovské sítě**



de Luis Balaguer et al., PNAS, 2017

Genové regulační sítě - GENIST

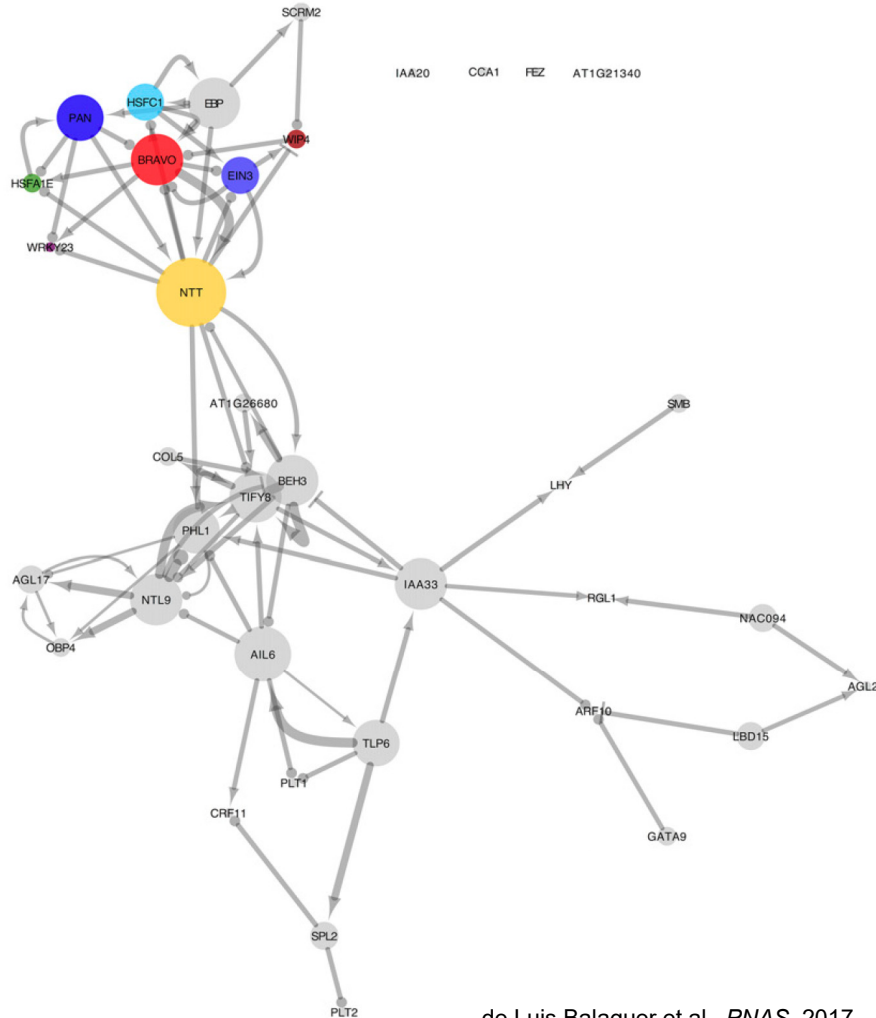


AT1G09210 ORA47 E9972

de Luis Balaguer et al., PNAS, 2017

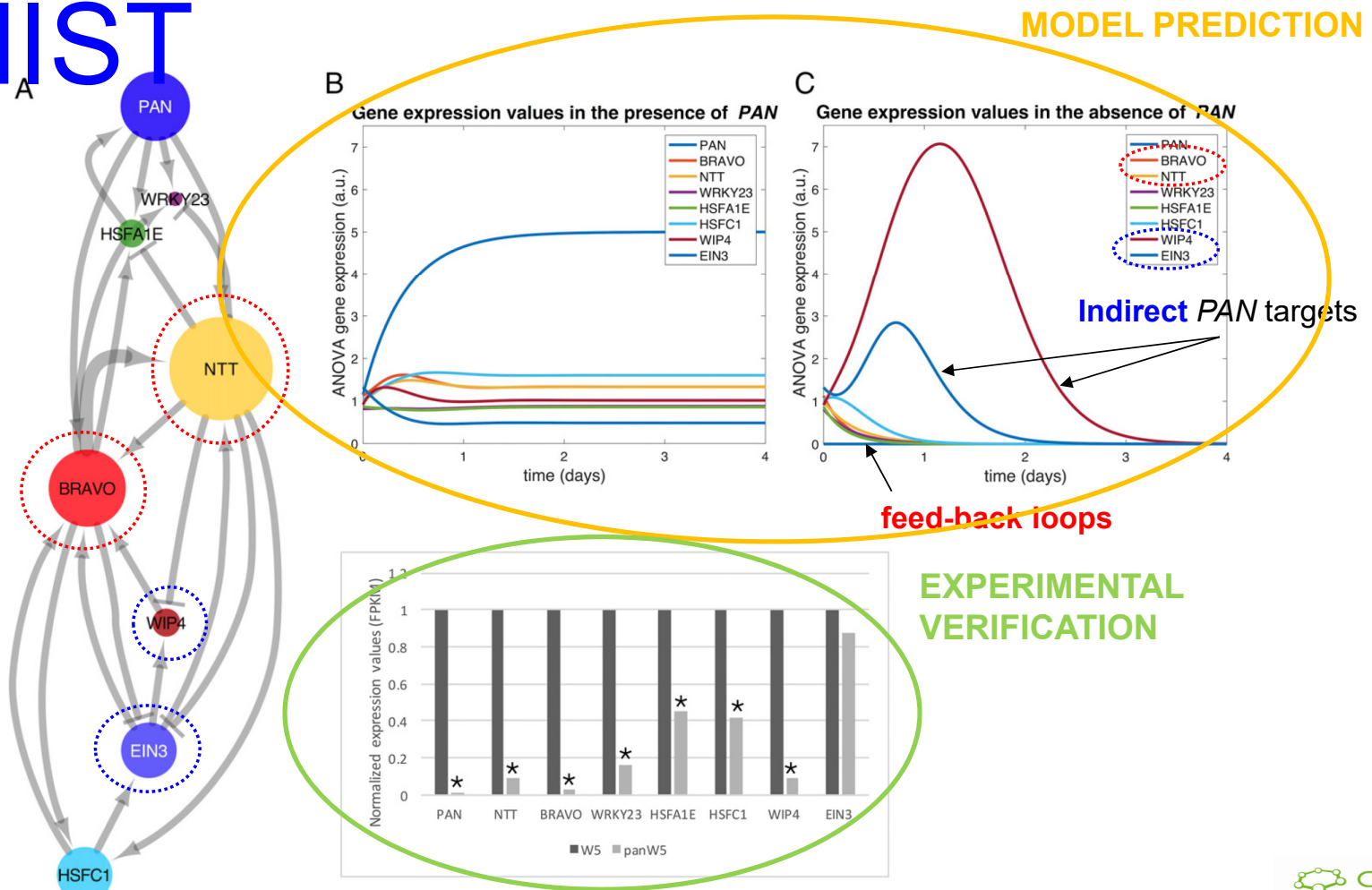


Genové regulační sítě - GENIST



de Luis Balaguer et al., *PNAS*, 2017

Genové regulační sítě - GENIST



Klíčové koncepty – systémová biologie

- Systémová biologie se pokouší identifikovat nové vlastnosti/chování skupin funkčních podjednotek (regulátorů/molekul), které nejsou prostým součtem vlastností jednotlivých podjednotek, ale jsou novou vlastností závislou na způsobu jejich vzájemné interakce
- Využívá matematické modely, často Bayesovské sítě
- Genové regulační sítě lze identifikovat i pomocí (semi)automatických nástrojů z velkých datových sad (např. genové exprese na úrovni celého genomu)
- Využití metod strojového účení („umělá inteligence“)